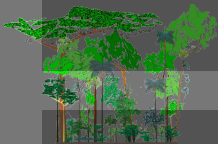


Populações e Comunidades Vegetais

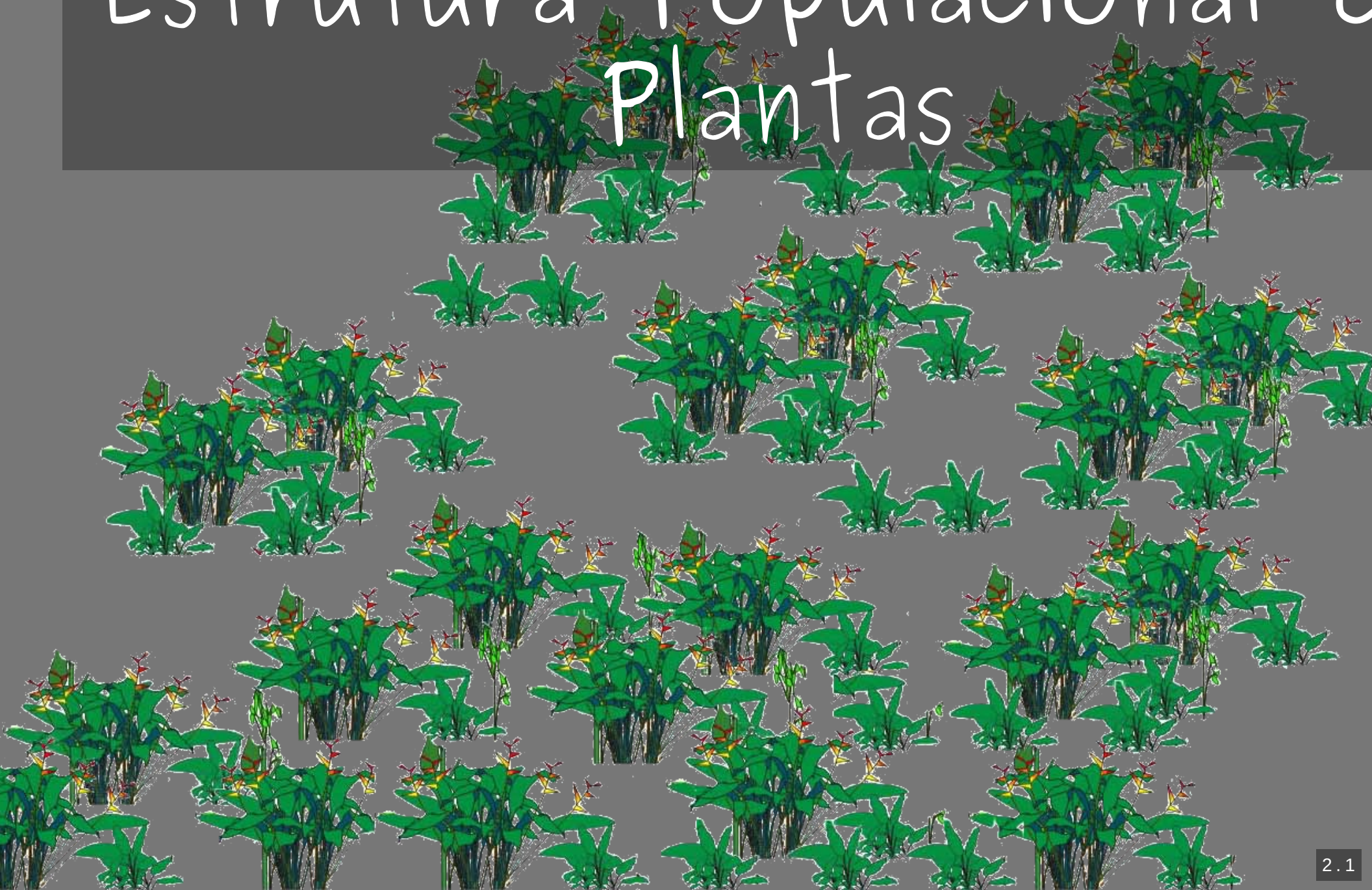
Estrutura de Populações

Alexandre Adalardo de Oliveira

Ecologia – IBUSP Agosto 2021



Estrutura Populacional de Plantas



Estrutura Populacional de Plantas

- definições
- principais estruturas
 - estrutura espacial
 - escala
 - inferência de processos

Definições

- **Ecologia Vegetal**
 - Distribuição e abundância das plantas
- **Estrutura de População**
 - Relação entre entidades do sistema
 - Padrões
 - **Variação não aleatória**
 - etária
 - tamanho
 - genética
 - **espacial**

População Estruturada

- Taxas vitais
 - estádios ontogenéticos
 - idade
 - tamanho

Estrutura Etária

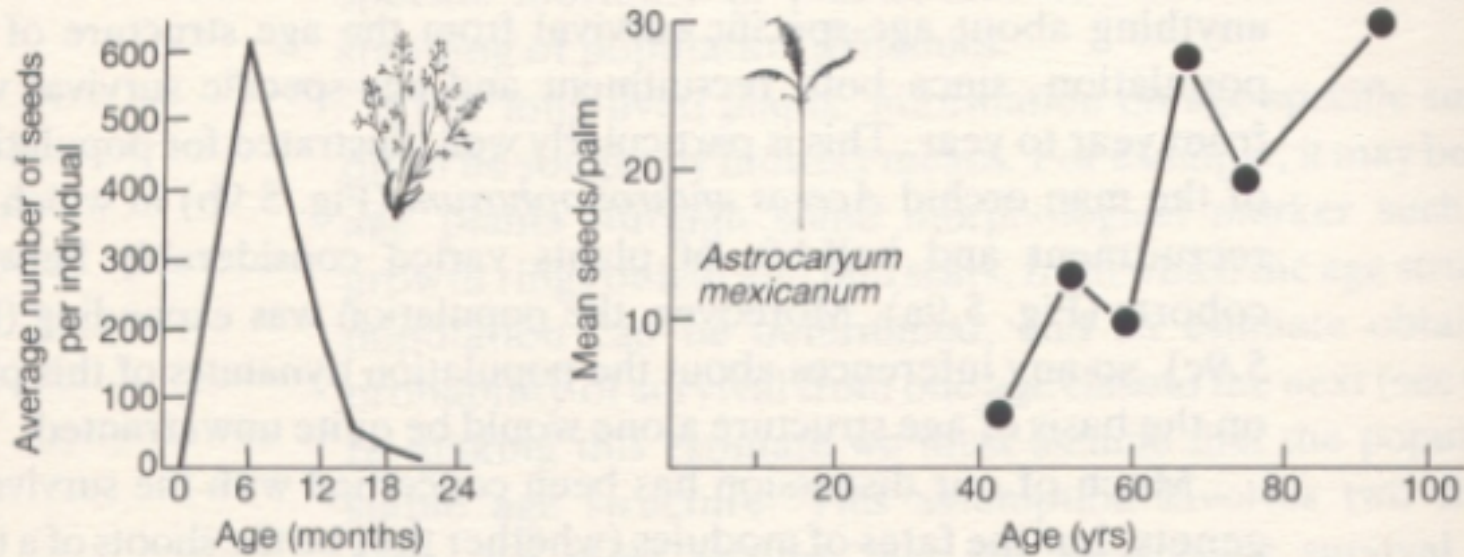
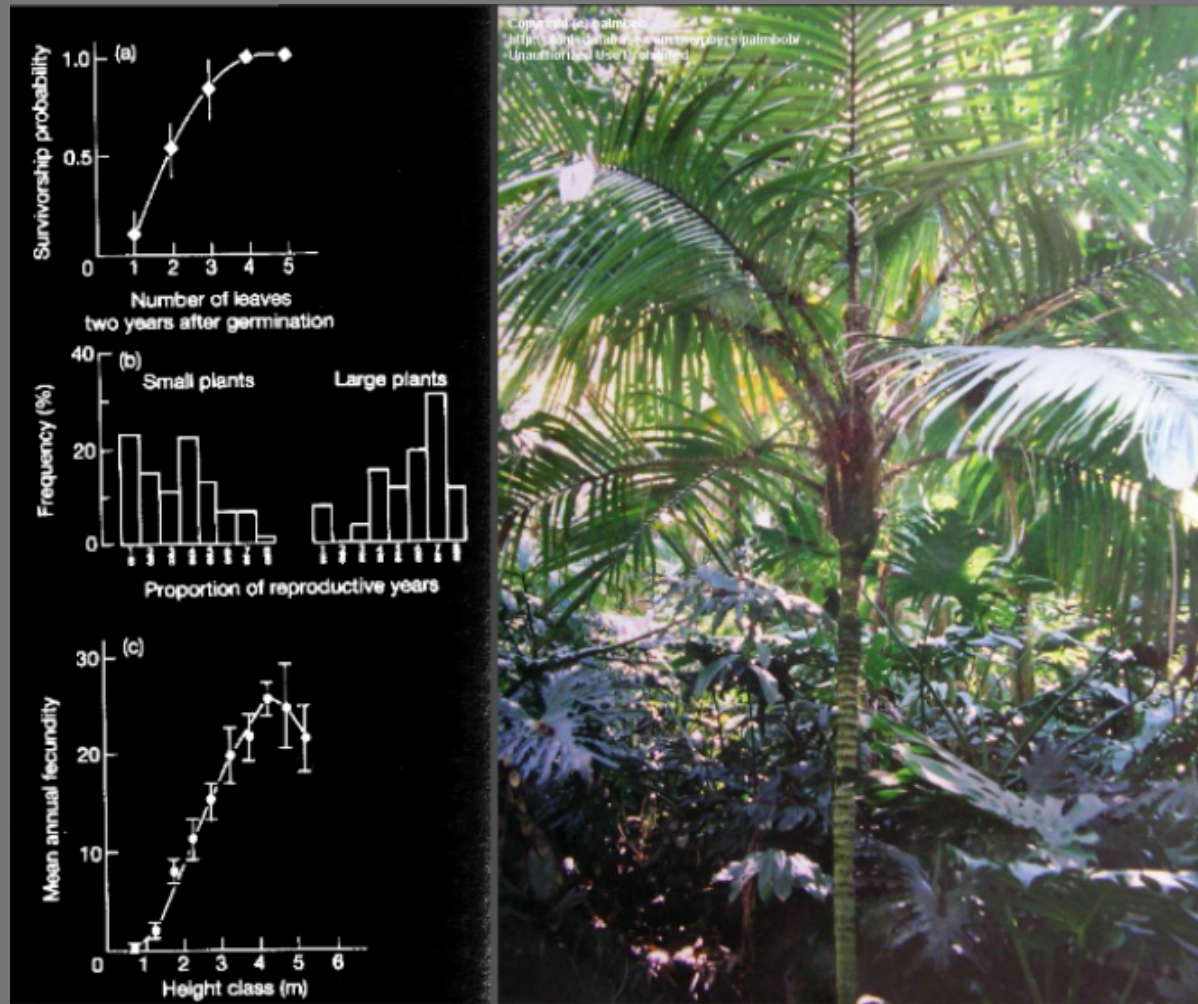


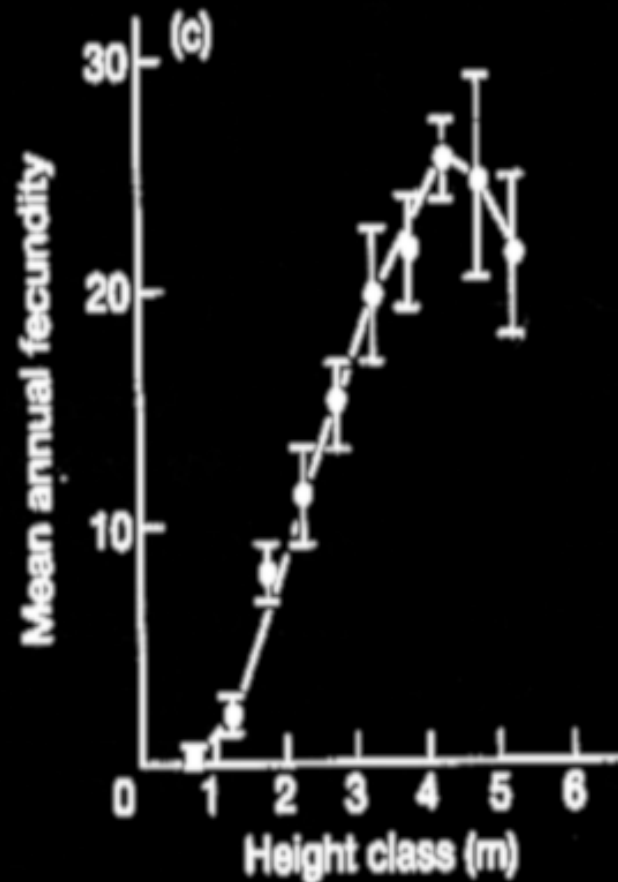
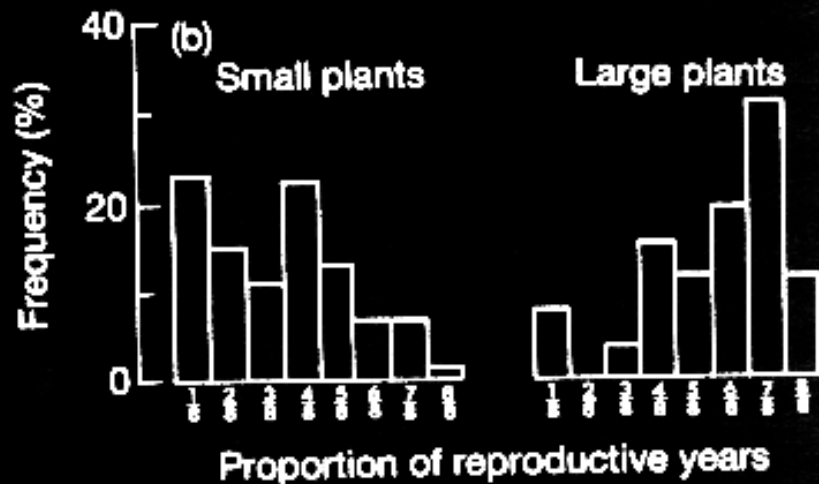
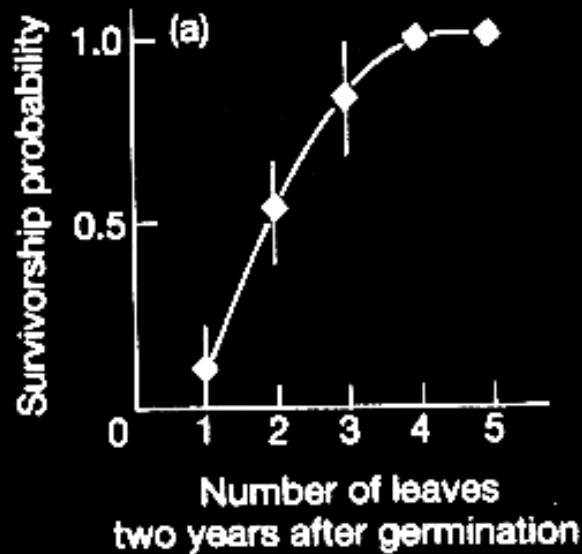
Fig. 5.11. Age-specific fecundity for (a) annual meadow grass, *Poa annua* (from Law, 1975); and (b) the tropical understorey palm, *Astrocarium mexicanum*. From Sarukhán (1980).

Estrutura de Tamanho



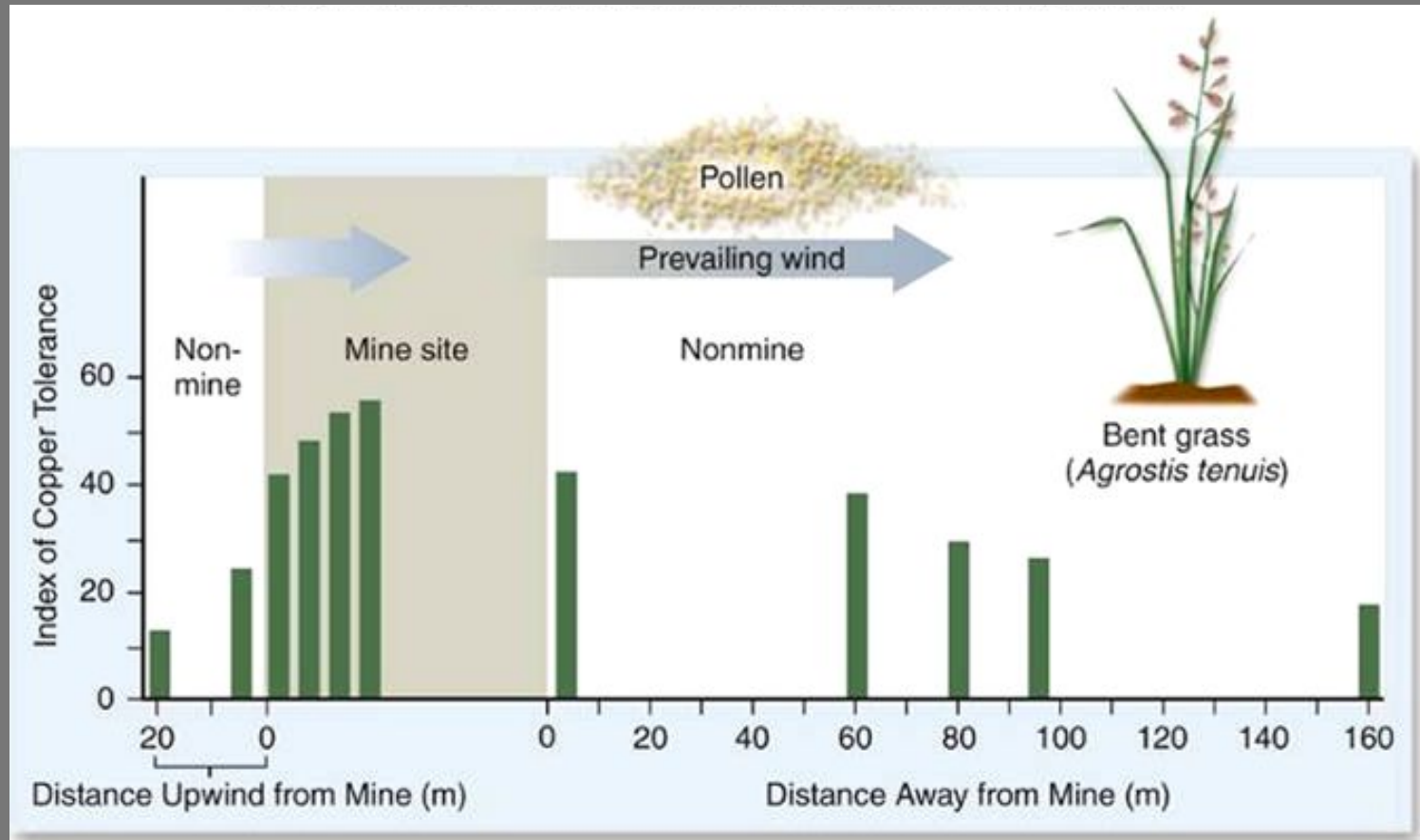
Daniel Piñedo & Miguel Martínez-Ramos. 1970–1980. *Astrocarium mexicanum*

Estrutura de Tamanho



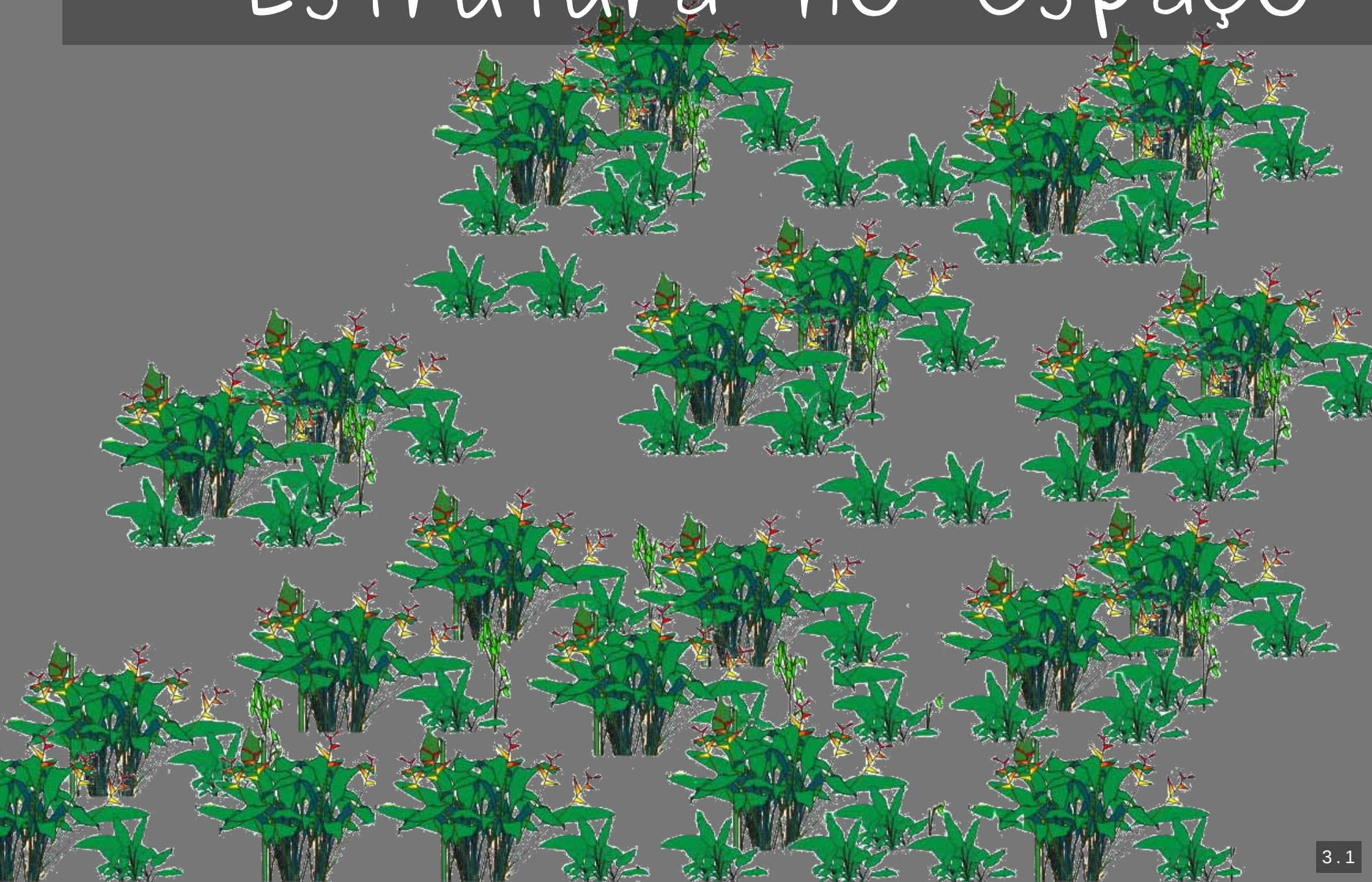
Acompanhamento de coorte

Estrutura Genética: seleção

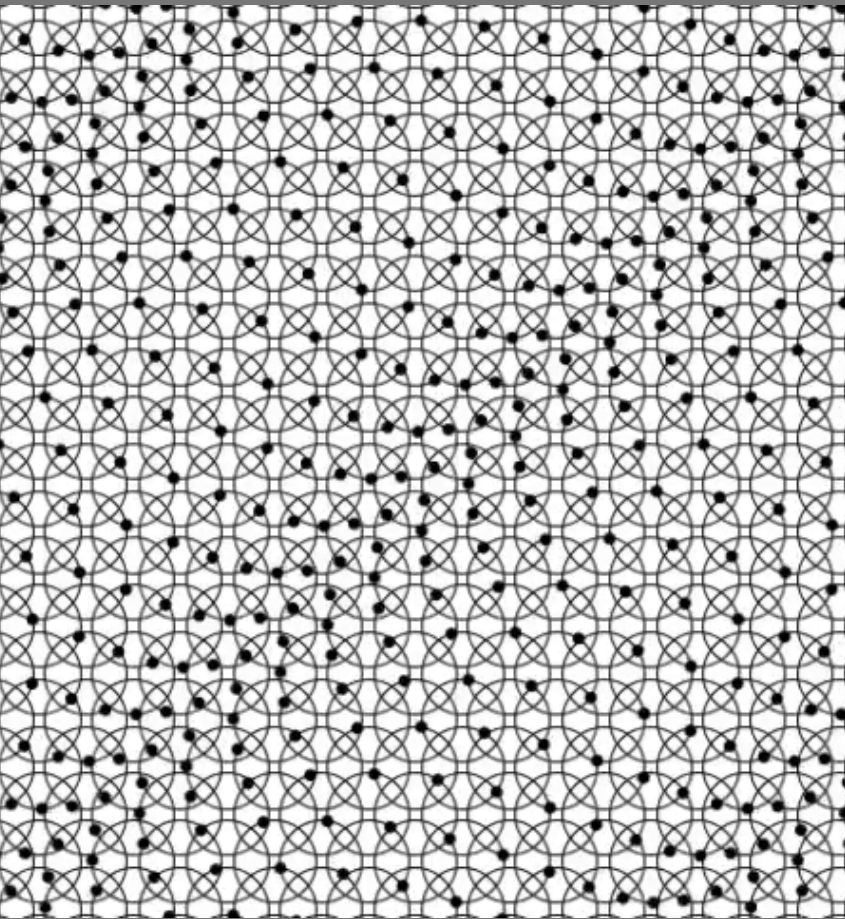


Bradshaw et al. 1960 – 1970. Tolerância a metal pesado: adaptação local e dispersão.

Estrutura no espaço



Estrutura no espaço



Distribuição

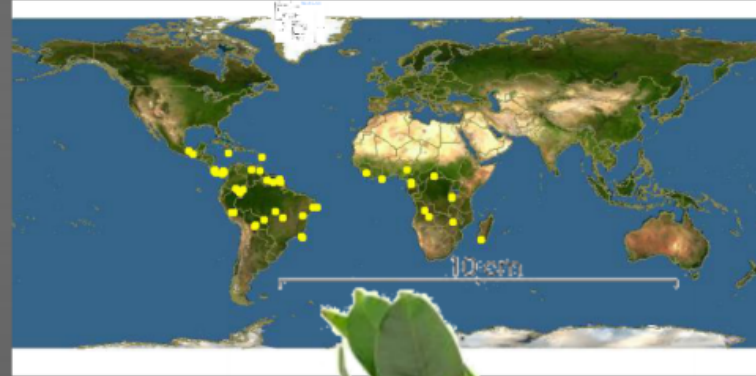
Padrão e P

- difere
- proces

Escala Geográfica

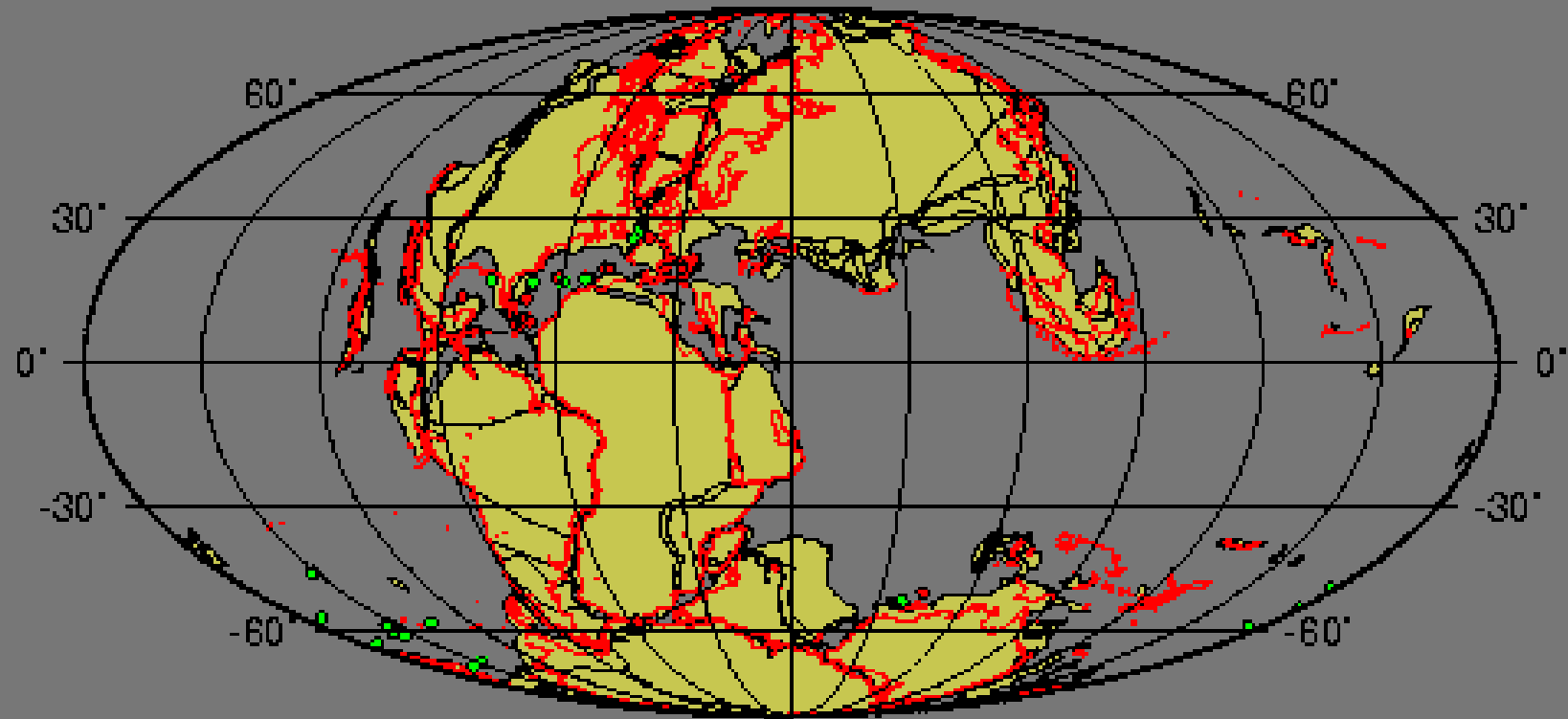


Symphonia globulifera L.



Dick, C. 2003. The American Naturalist

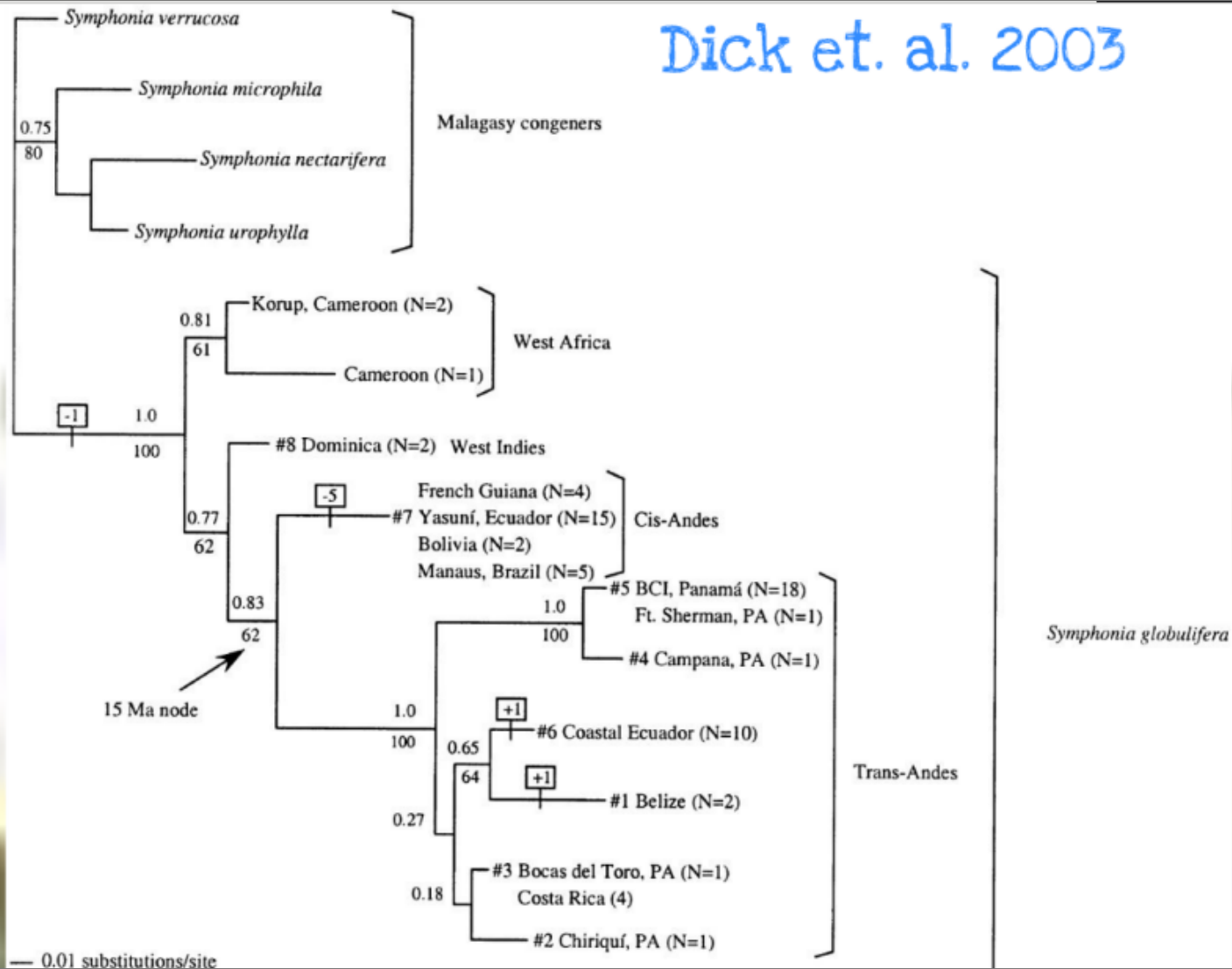
Escala Geográfica



150 My Reconstruction

Escala Geográfica

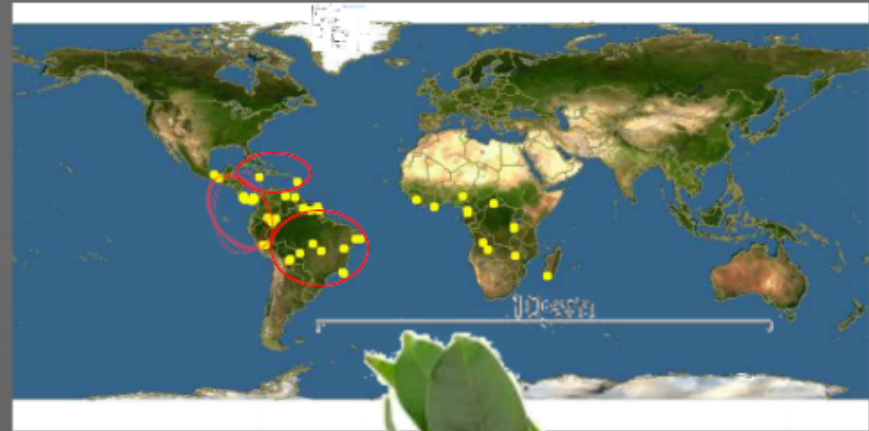
Dick et. al. 2003



Escala Geográfica



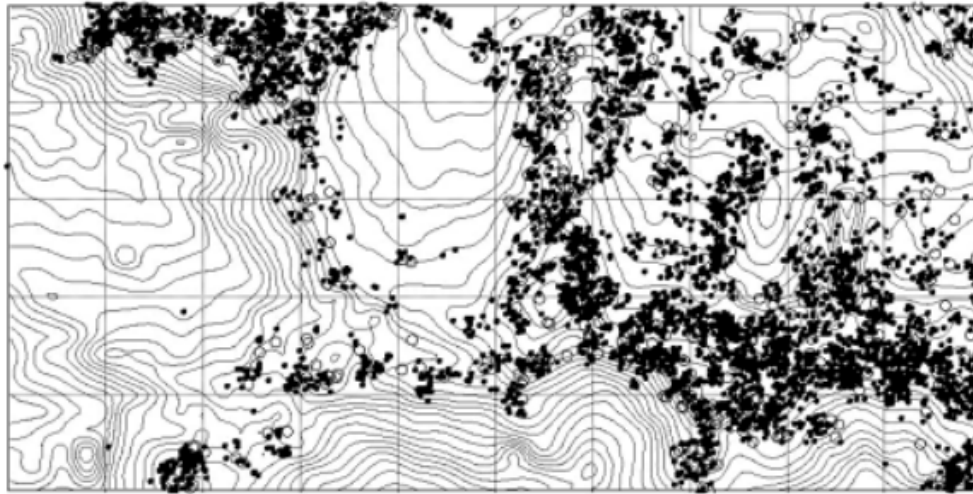
Symphonia globulifera L.



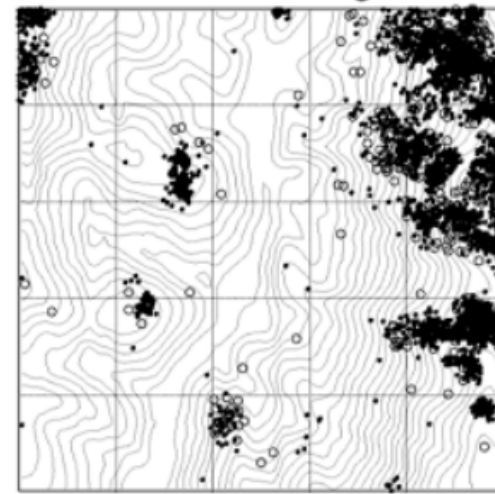
Escala Local

Condit et al. 2000

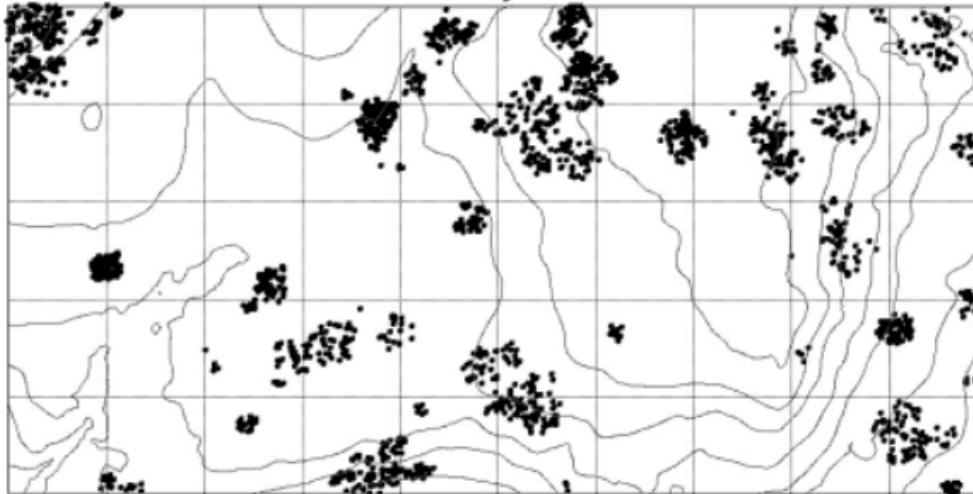
Vatica micrantha



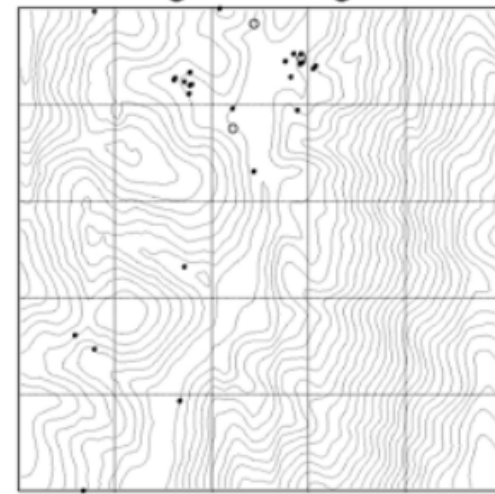
Shorea worthingtonii



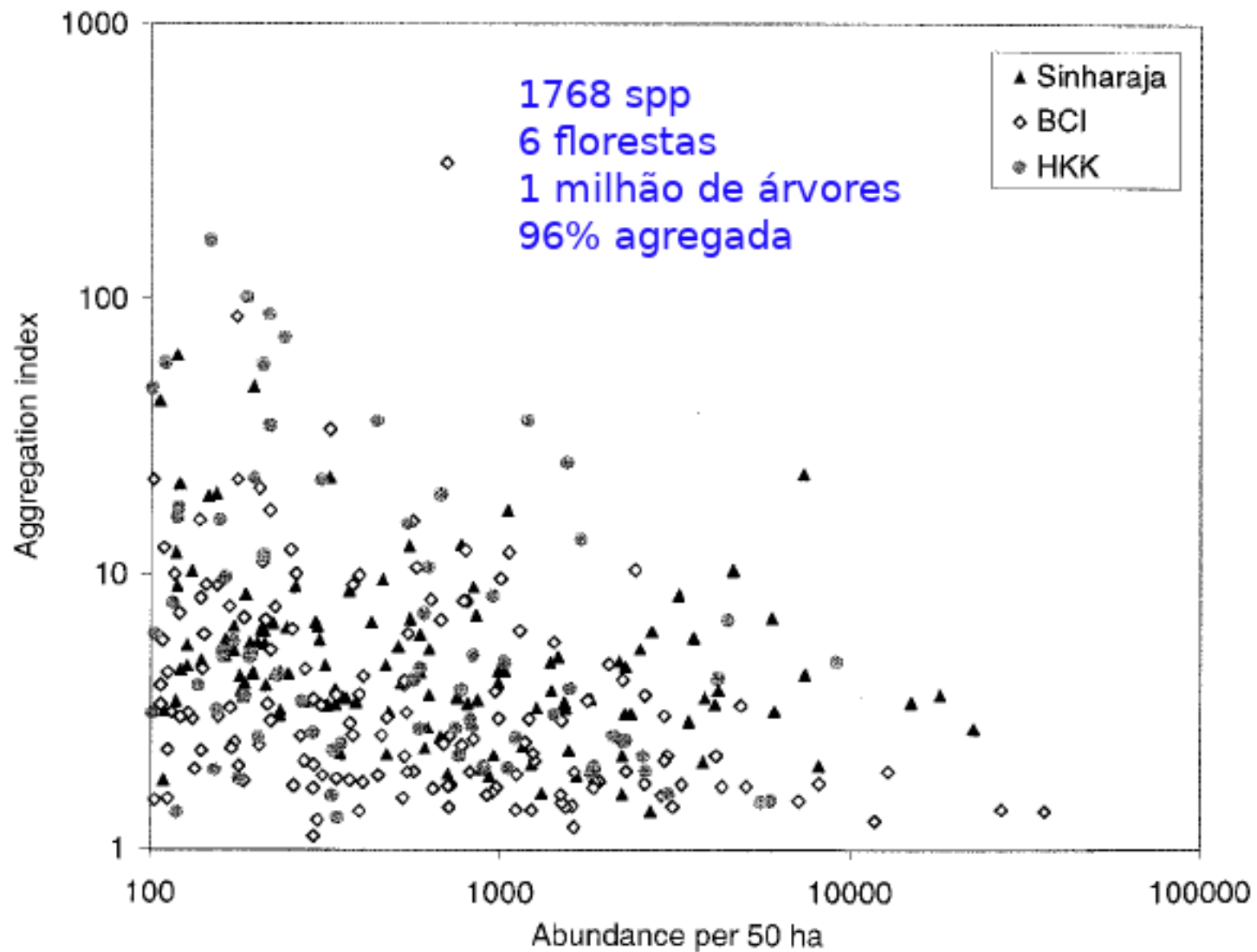
Rinorea sylvatica



Eugenia insignis

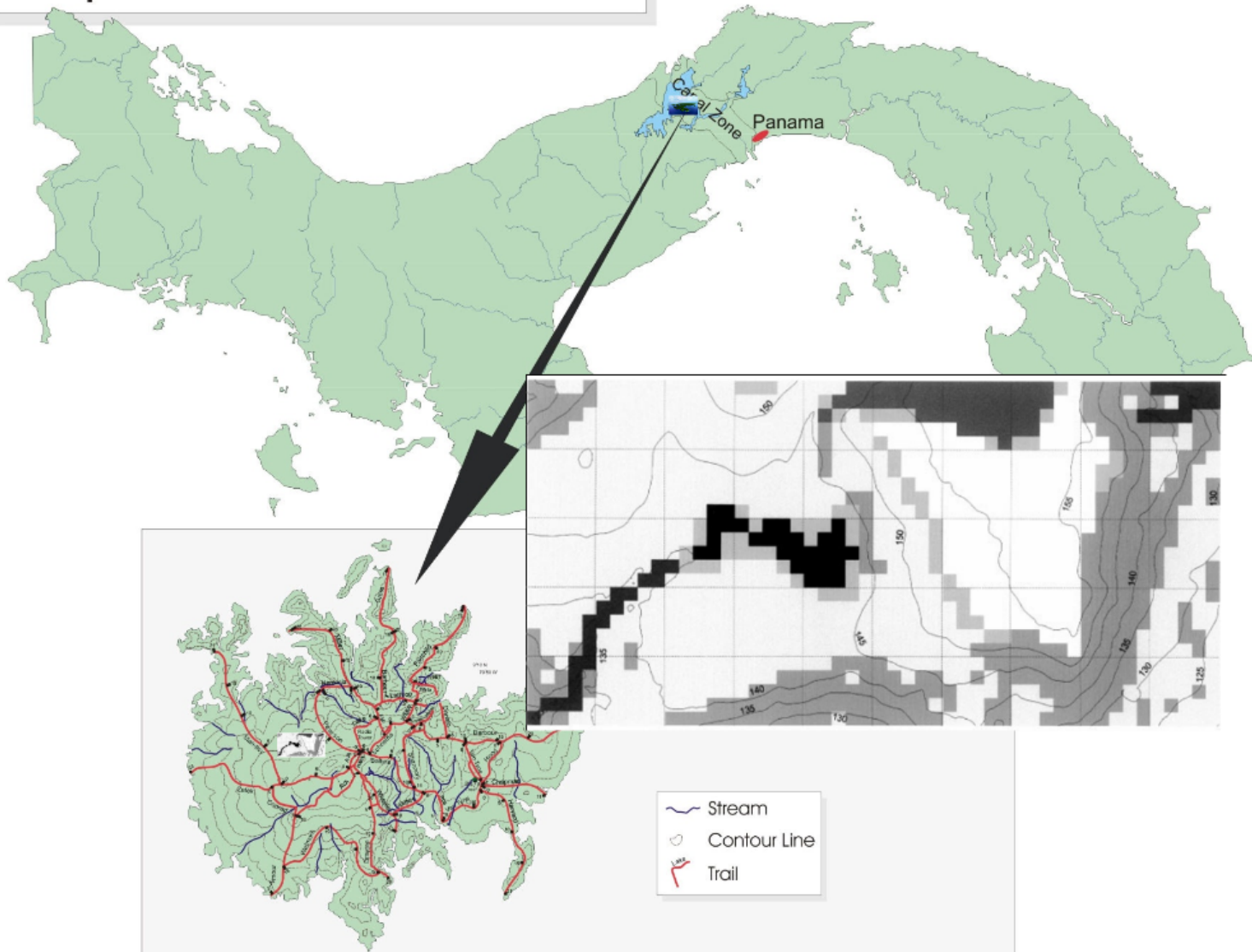


Condit 2000

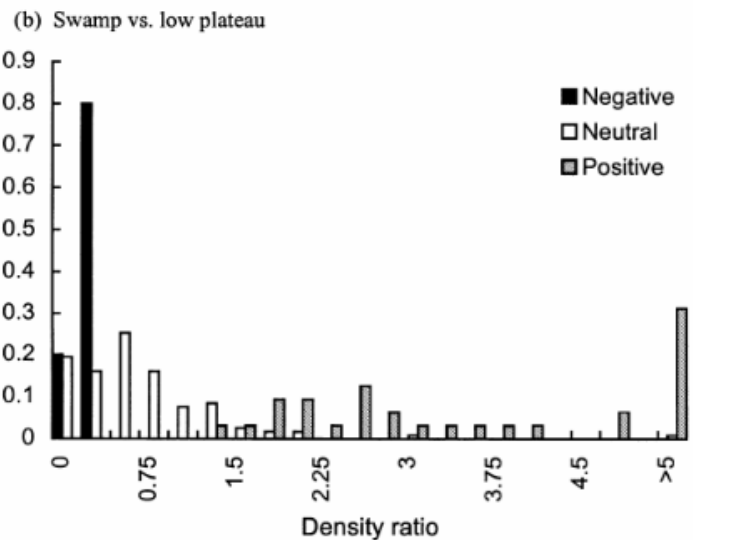
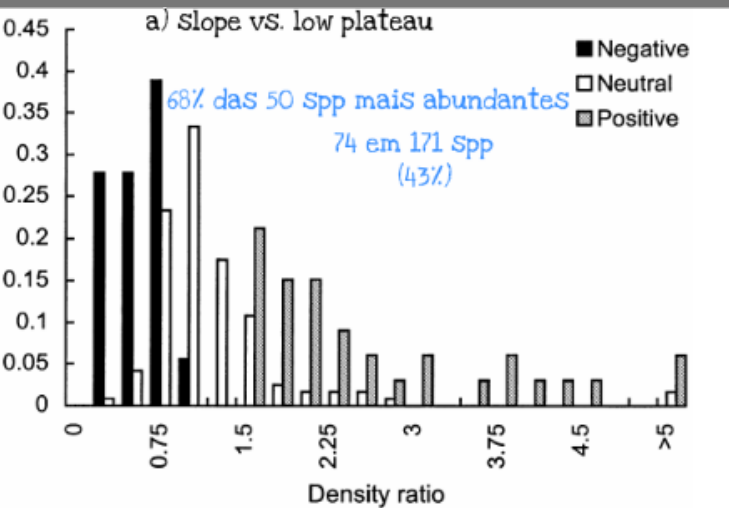


Distribuição Espacial

Republic of Panama



Associação de Habitat



Harms et. al

Barro Colorado

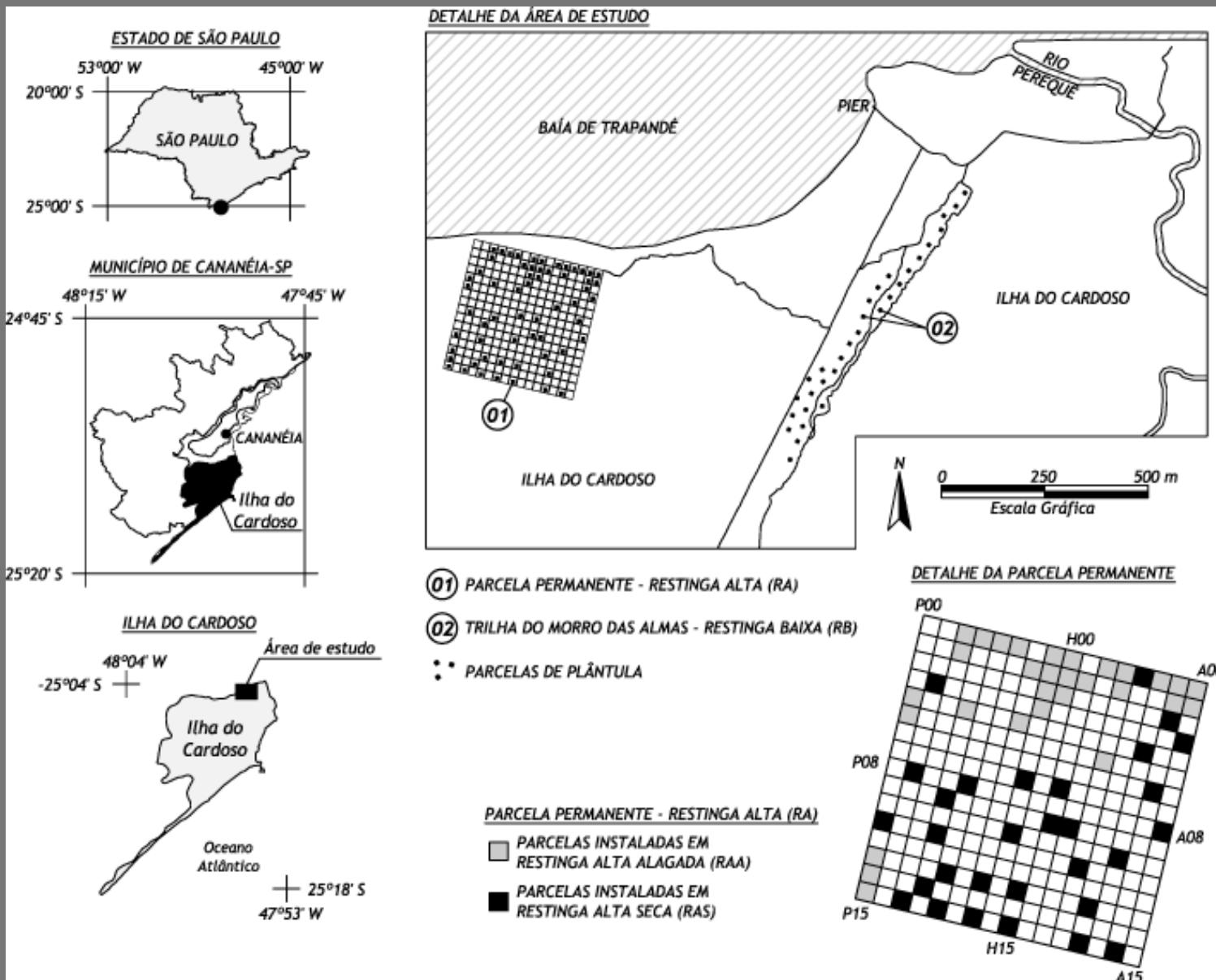
- Low pla
- Low pla
- Swamp
- Swamp

Habitat Assoc

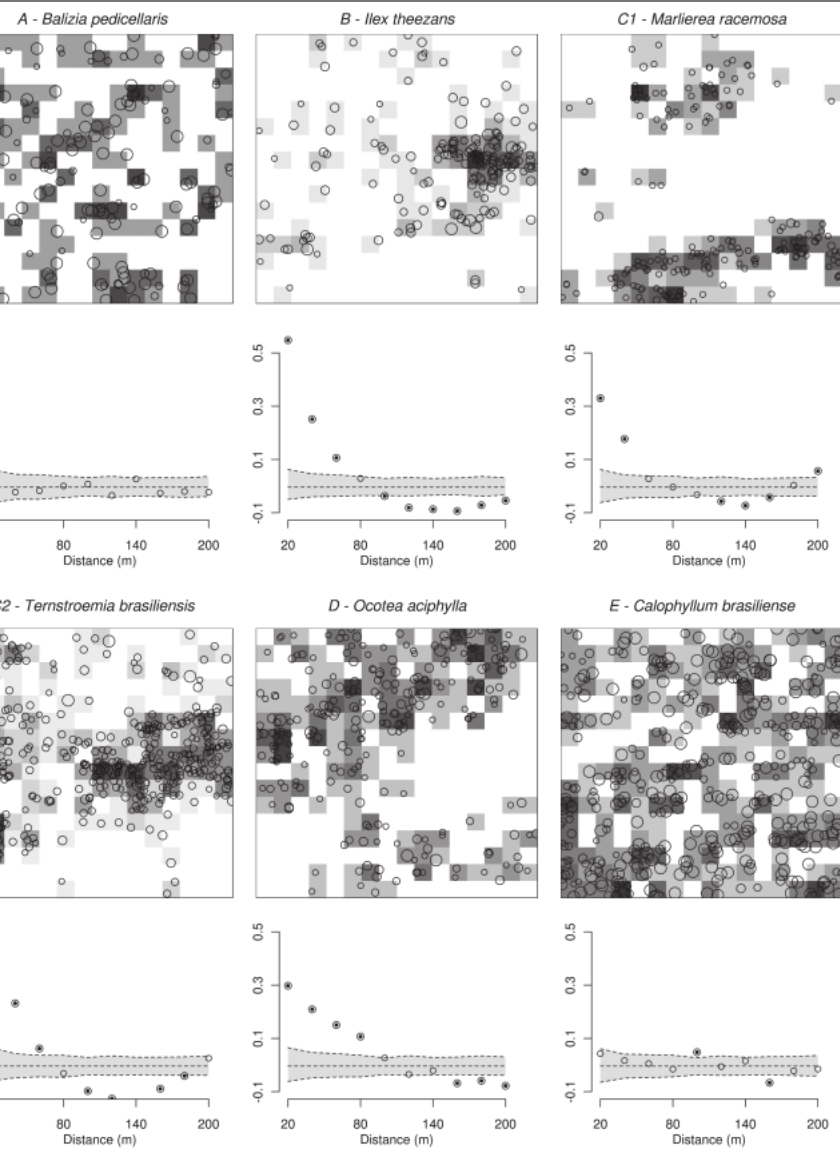
Restinga PEIC



Parcela Permanente PEIC



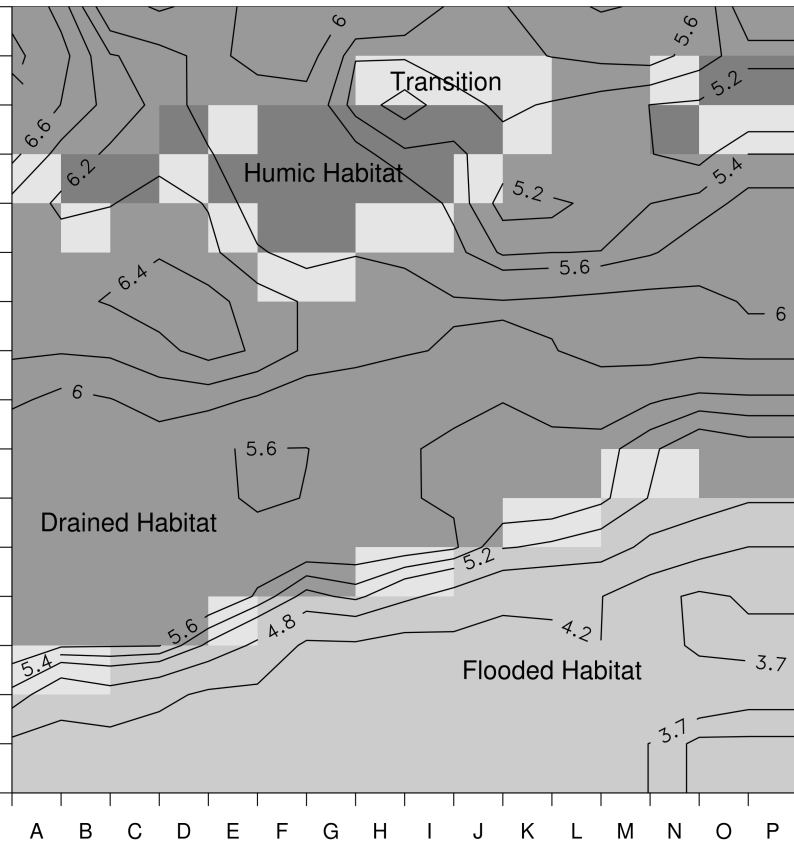
Padrão Espacial



Resultados

- $dap > 4.7$ c
- 37/40 ssp m
são agregad
- 5 padrões d

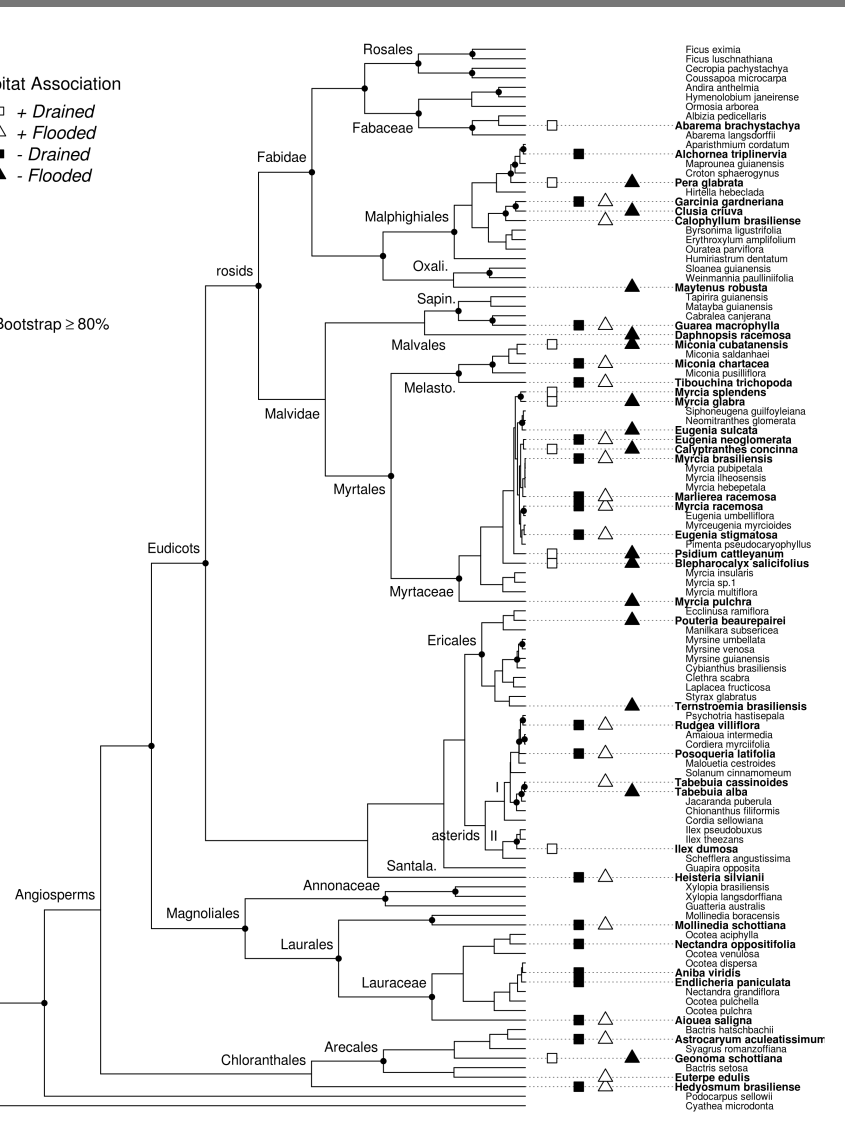
Habitats Edáficos



oliveira et al

- 99 spp >
- 52% hab
- Flooded:
- No-Flood

Habitat e Filogenia

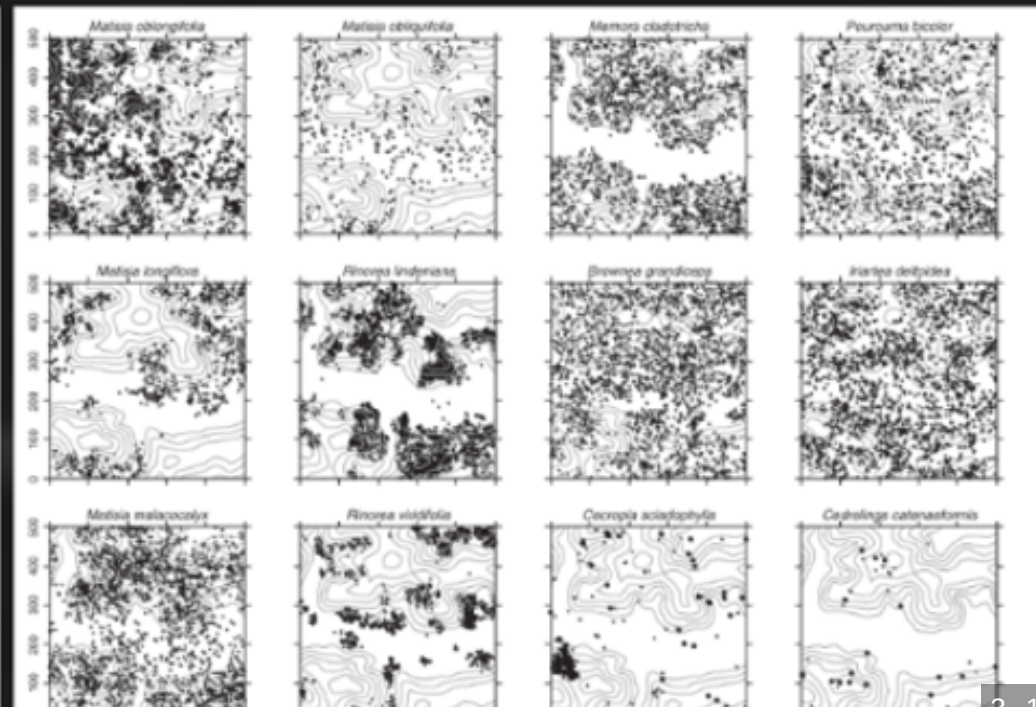
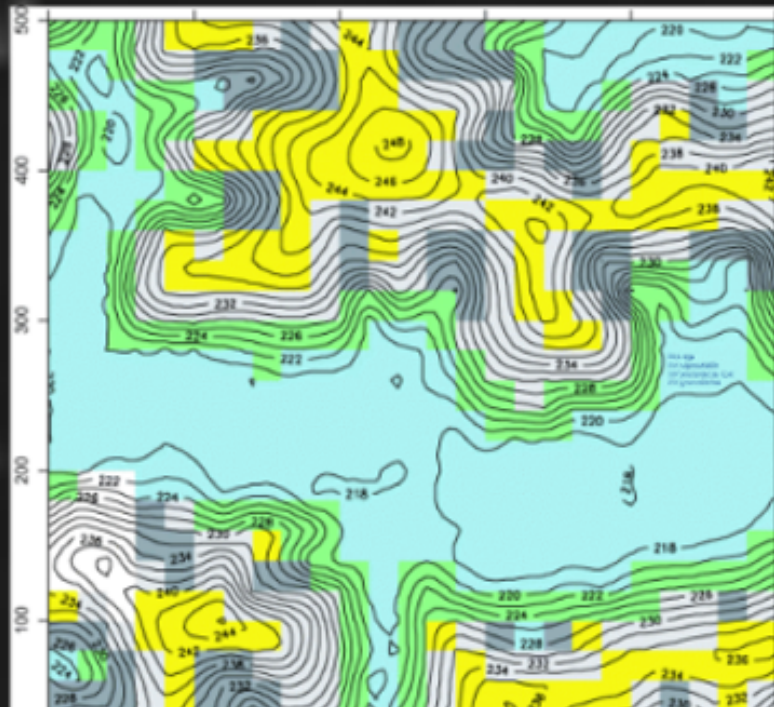


- 99 spp >
- 52% hab
- Flooded:
- No-Flood

Habitat S

Cladif

- 152353 arv.
- 1104 spp



Yasuni

1104 Spp

25% especialista

50% preferência $>1,5x$

25% generalistas



Valencia et al. 2004. Journal of Ecology
Habitat specialization is important!

Kraft et al., 2008

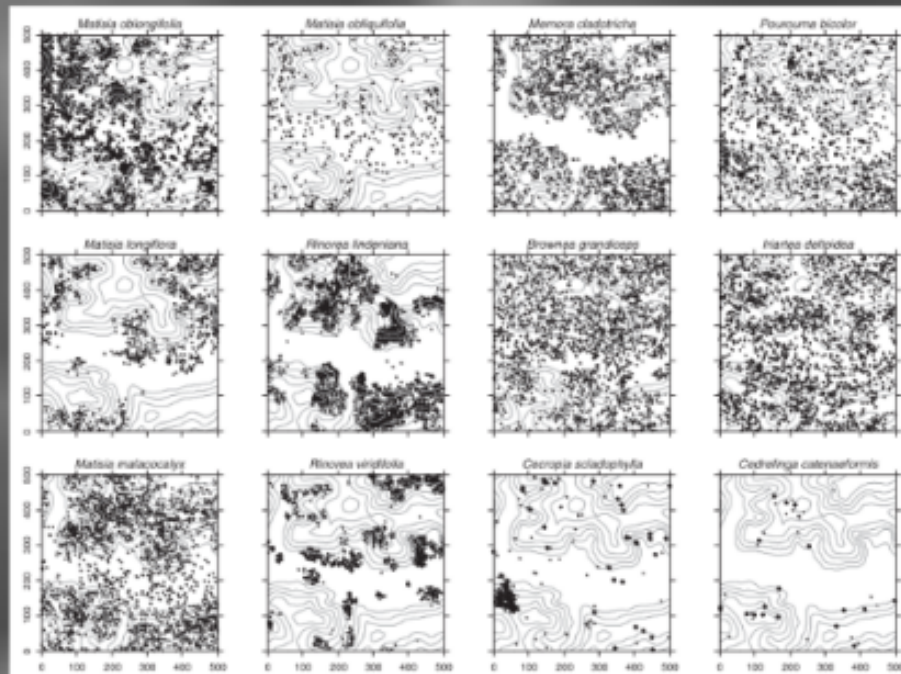
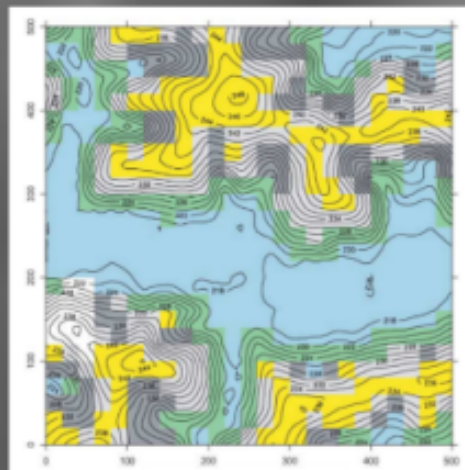
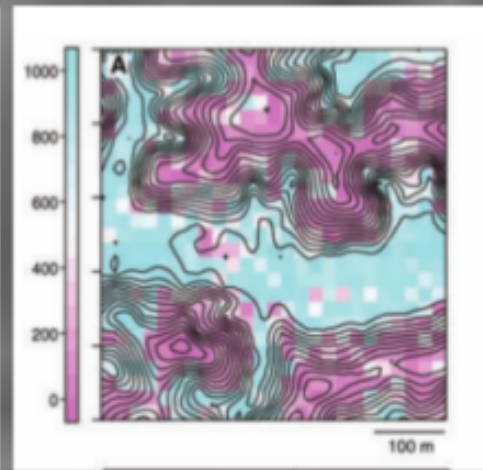


Fig. 4 Species distribution maps overlain on 5-m contours. Points come in three sizes: the largest indicate trees with d.b.h. ≥ 300 mm, medium indicate d.b.h. ≥ 100 and < 300 mm, and the smallest indicate d.b.h. ≥ 10 and < 100 mm.



HABITATS



SLA

Yi-Ching 2011

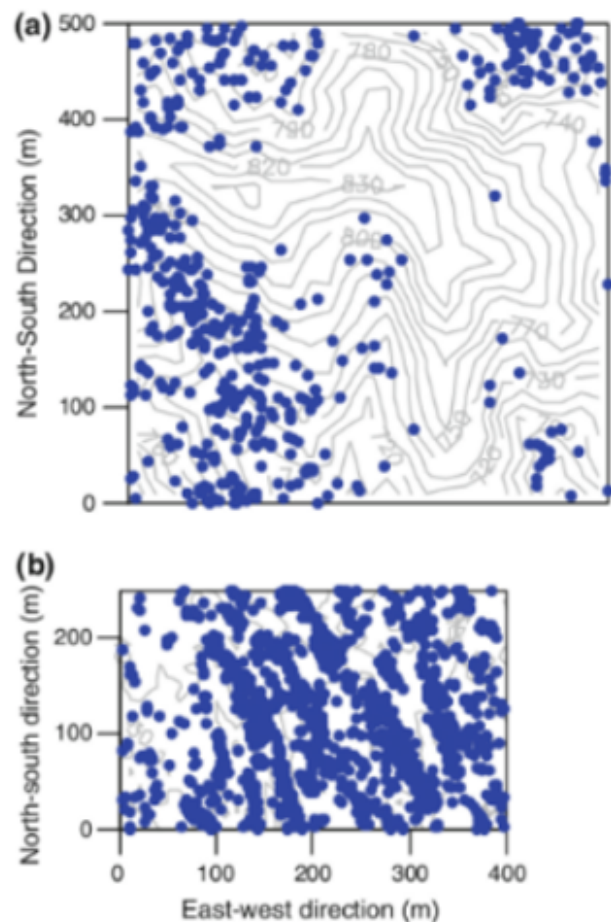
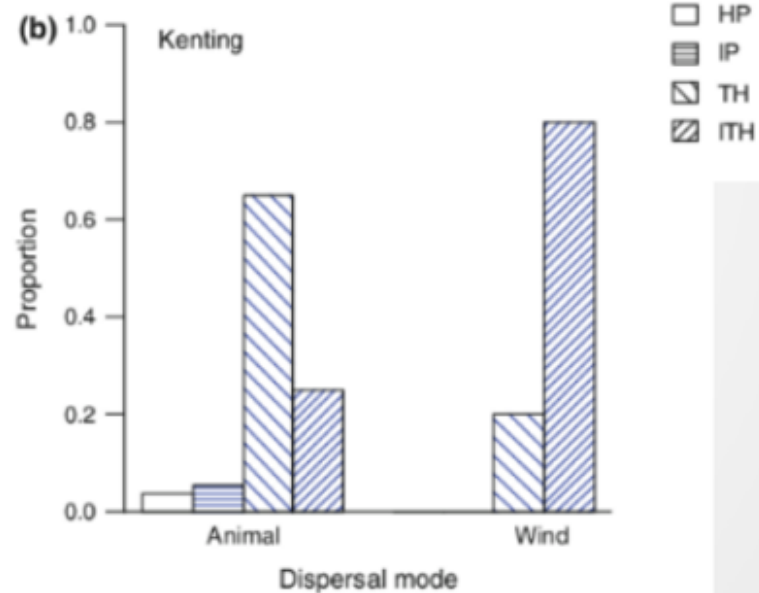


Fig. 2 Stem maps of *Ardisia sieboldii* in the LHC plot (a) and *Aglaia formosana* (b) in the Kenting plot. Each dot represents an individual

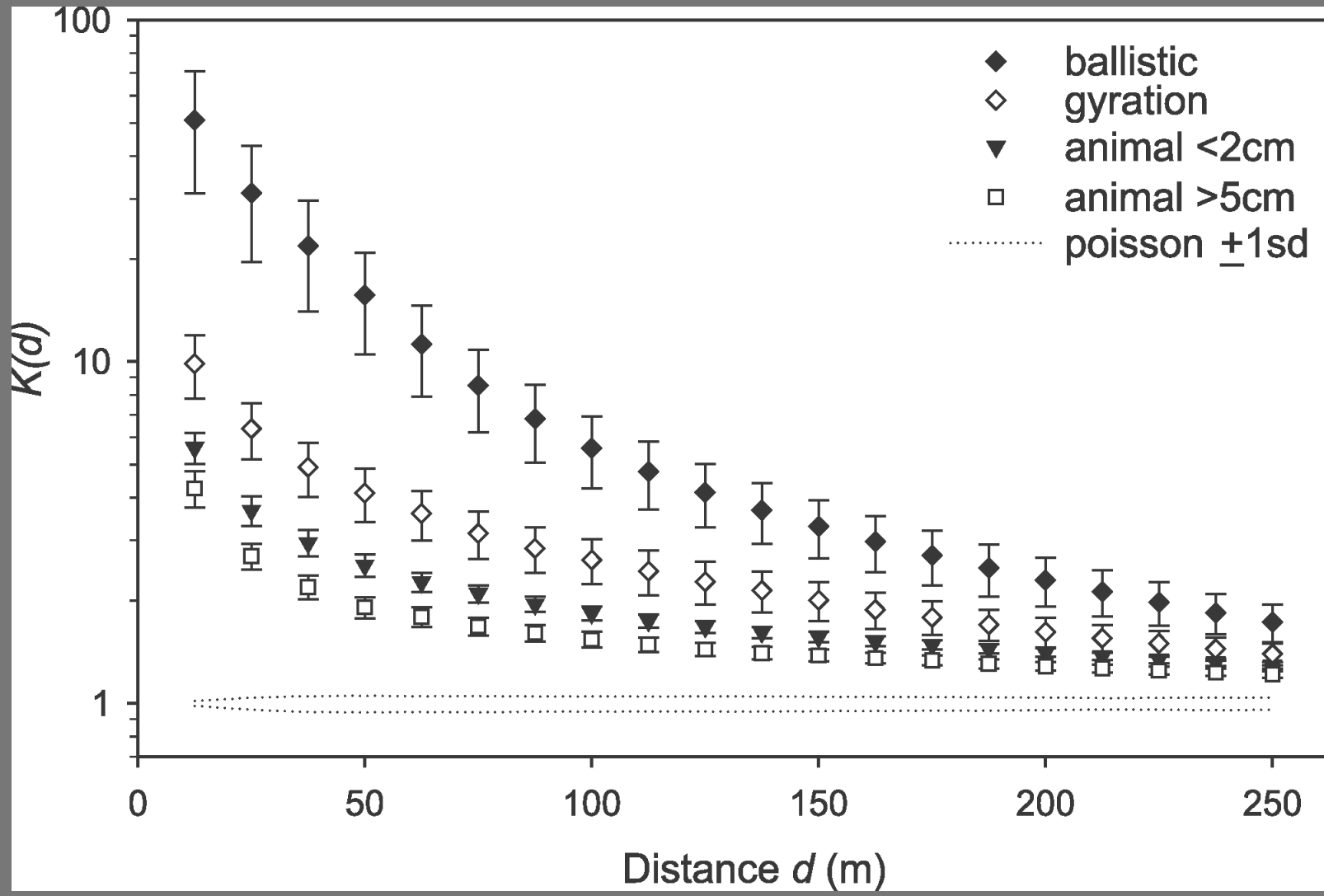
Table 1 Proportion of the best models for tree species in the LHC and Kenting plots in Taiwan as judged by the AIC (ESM S1, S2)

Model	LHC	Kenting
Homogeneous Poisson process	3% (3)	4% (2)
Inhomogeneous Poisson process	13% (13)	5% (3)
Homogeneous Thomas process	33% (31)	30% (17)
Inhomogeneous Thomas process	49% (46)	61% (35)



Dispersão

siedler & Plotkins, PlosBio 2006

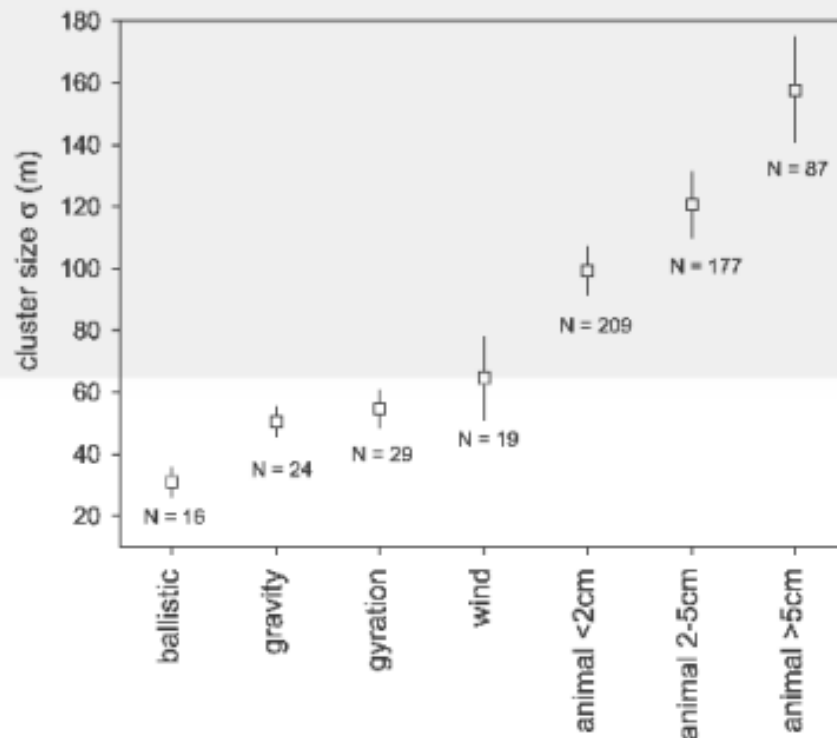


ACCESS



PEER-REVIEWED

ARTICLE



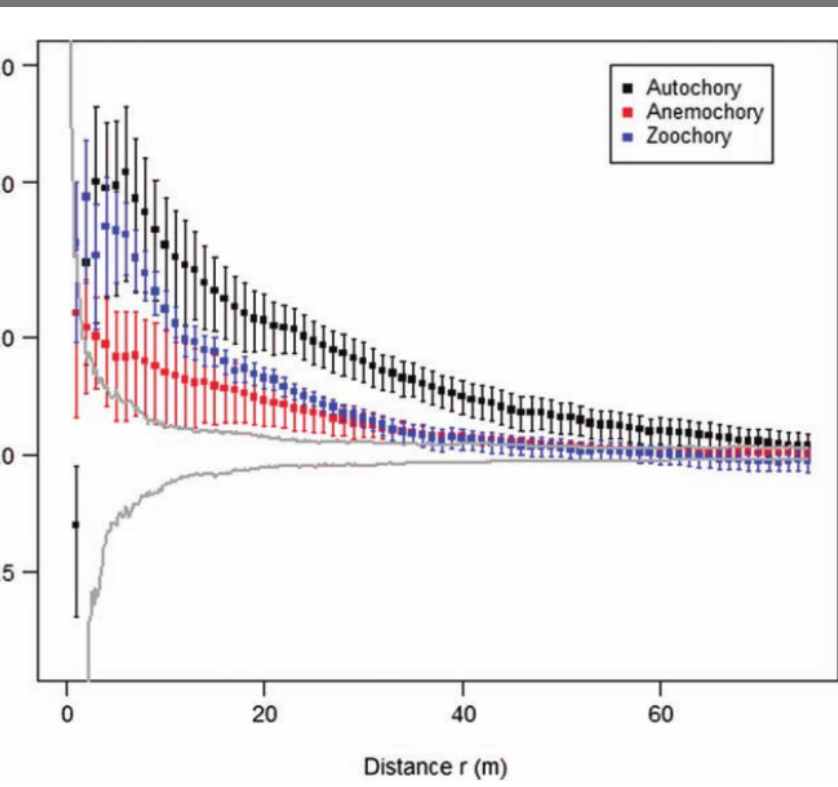
Dispersal and Spatial Pattern in Tropical Trees

G Seidler, Joshua B Plotkin

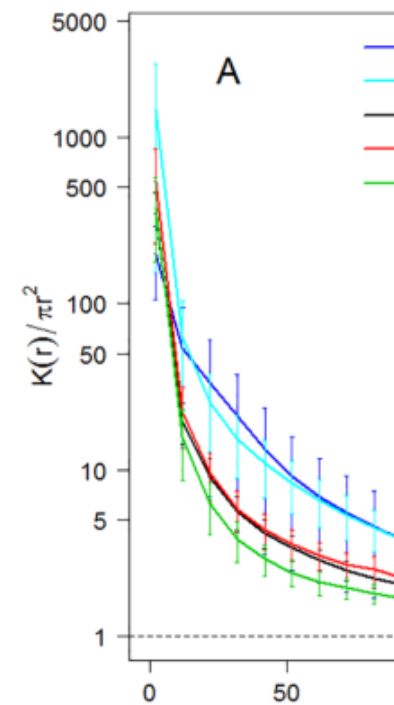
50 hectares Malasia
561 spp árvores

Habitat x Dispersão

cuador (Floresta Seca).
 errero et al. *Oikos* 2015



BCI. Ramón et al.



Habitat x Dispersão

Does spatial heterogeneity blur the signature of dispersal syndromes on spatial patterns of woody species? A test in a tropical dry forest

Andrea Jara-Guerrero, Marcelino De la Cruz, Carlos I. Espinosa, Marcos Méndez and Adrián Escudero

Floresta Seca Equador

- 50% IPCP, 21% HPCP

Environmental heterogeneity blurs the signature of dispersal syndromes on spatial patterns of woody species in a moist tropical forest

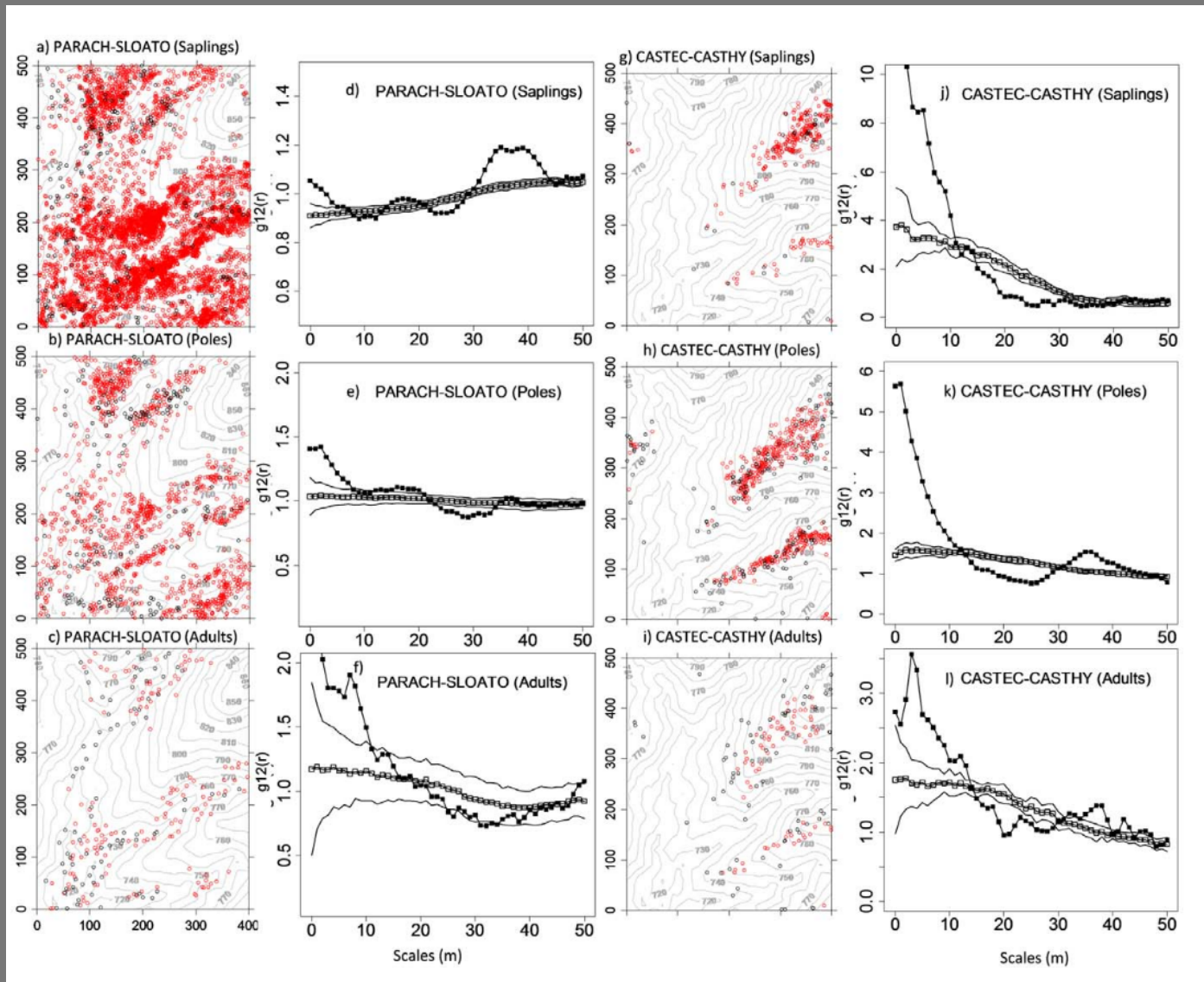
Pablo Ramón^{1*}, Eduardo Velázquez², Adrián Escudero³, Marcelino de la Cruz³

BCI

- 63% IPCP, 20% HPCP

Associação entre Espécies

Xishuangbanna, China (Lan et al. 2012)



Bivariado

OPEN ACCESS Freely available online

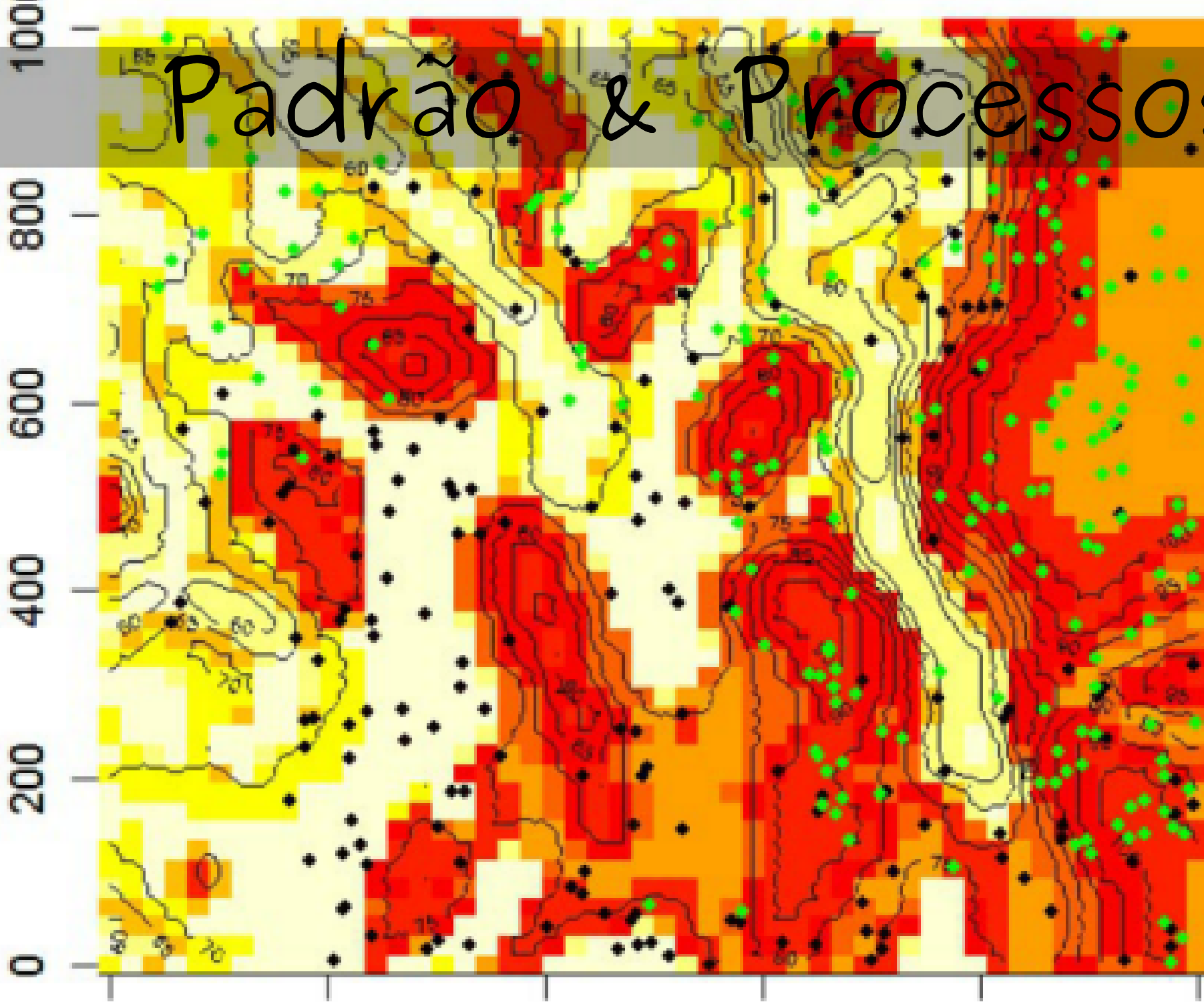
PLOS ONE

Spatial Distribution and Interspecific Associations of Tree Species in a Tropical Seasonal Rain Forest of China

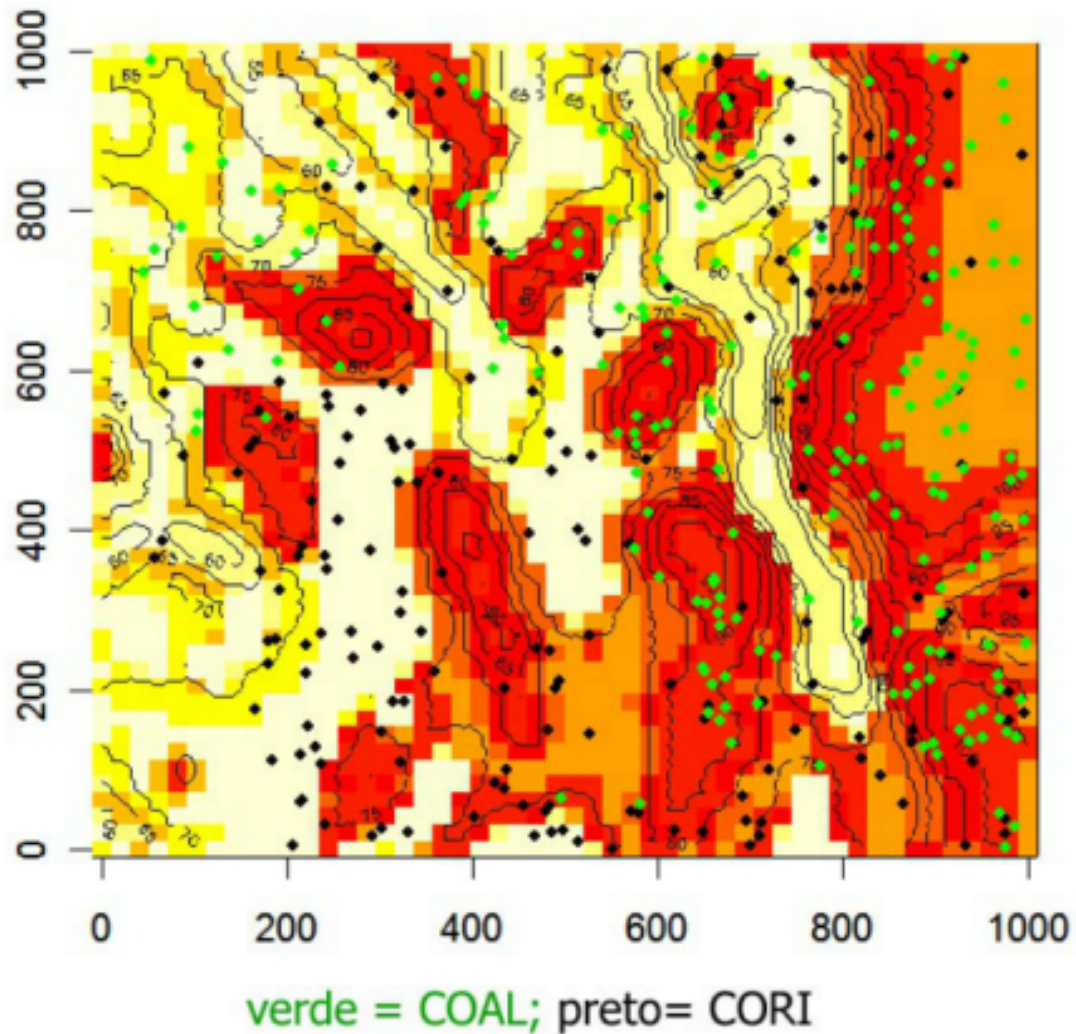
Guoyu Lan^{1,2}, Stephan Getzin³, Thorsten Wiegand³, Yuehua Hu¹, Guishui Xie², Hua Zhu¹, Min Cao^{1*}

- 14/20 spp associada com habitat (70%)
- diminuição na intensidade de agregação em escalas maiores
- agregação diminui com a ontogenia
- associação entre espécies:
- jovens: + 43% , - 39%
- adultos: + 45% , - 29%

Padrão & Processos



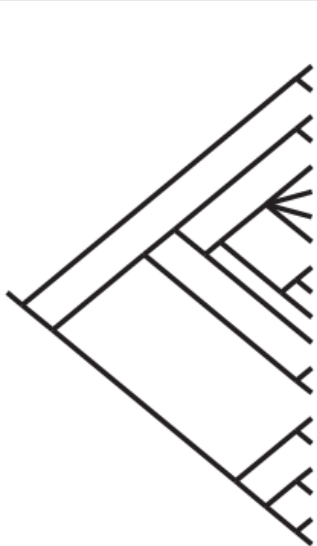
Inferir Processos



Associação Habitats

Herbivores Promote Habitat Specialization by Trees in Amazonian Forests

Paul V. A. Fine,^{1,2*} Italo Mesones,³ Phyllis D. Coley¹

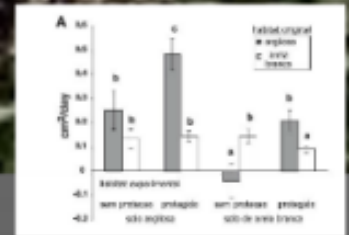


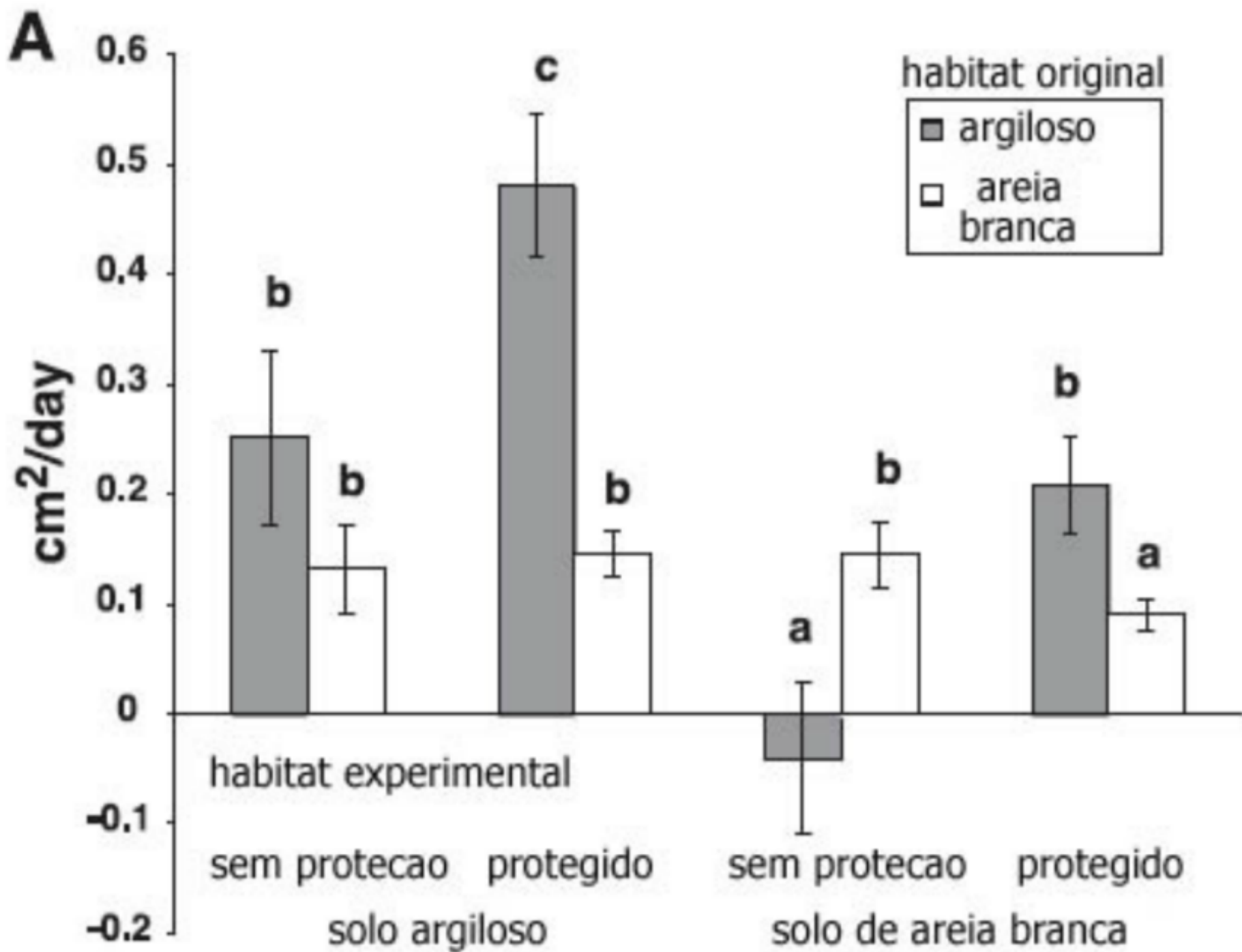
	Family	Genus and species	Soil type (origin)
	Annonaceae	<i>Oxandra xylopioides</i> Diels	Clay
	Annonaceae	<i>Oxandra euneura</i> Diels	White sand
	Burseraceae	<i>Tetragastris* panamensis</i> (Engler) Kuntze	Clay
	Burseraceae	<i>Protium subserratum</i> (Engler) Engler	White sand
	Burseraceae	<i>Protium nodulosum</i> Swart	Clay
	Burseraceae	<i>Protium paniculatum</i> Engler	White sand
	Burseraceae	<i>Protium opacum</i> Swart	Clay
	Burseraceae	<i>Protium calanense</i> Cuatrec.	White sand
	Burseraceae	<i>Protium trifoliolatum</i> Engler	Clay
	Burseraceae	<i>Protium kruckoffii</i> Swart	Clay
	Burseraceae	<i>Protium heptaphyllum</i> subsp. <i>ulei</i> (Swart) Daly	White sand
	Burseraceae	<i>Protium hebetatum</i> Daly	Clay
	Malvaceae (Bombacoid)	<i>Pachira insignis</i> (Swartz) Swartz ex Savigny	Clay
	Malvaceae (Bombacoid)	<i>Pachira brevipes</i> (Robyns) Alverson	White sand
	Euphorbiaceae	<i>Mabea pulcherrima</i> Müll. Arg.	Clay
	Euphorbiaceae	<i>Mabea subsessilis</i> Pax & Hoffmann	White sand
	Fabaceae (Faboid)	<i>Swartzia arborescens</i> (Aublet) Pittier	Clay
	Fabaceae (Faboid)	<i>Swartzia cardiosperma</i> Spruce ex Benth.	White sand
	Fabaceae (Mimosoid)	<i>Parkia multijuga</i> Benth.	Clay
	Fabaceae (Mimosoid)	<i>Parkia igneiflora</i> Ducke	White sand

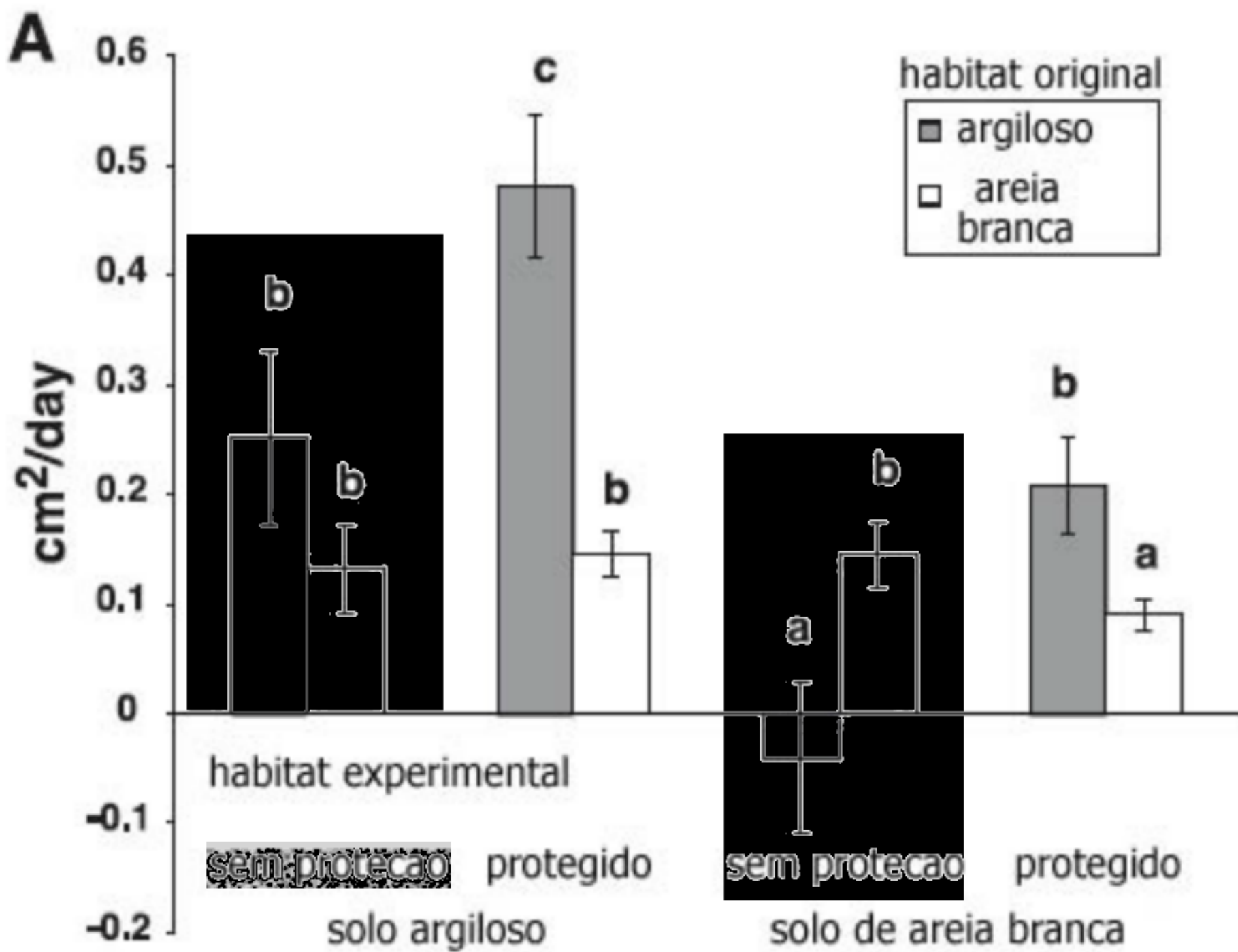
Fine et al., 2004

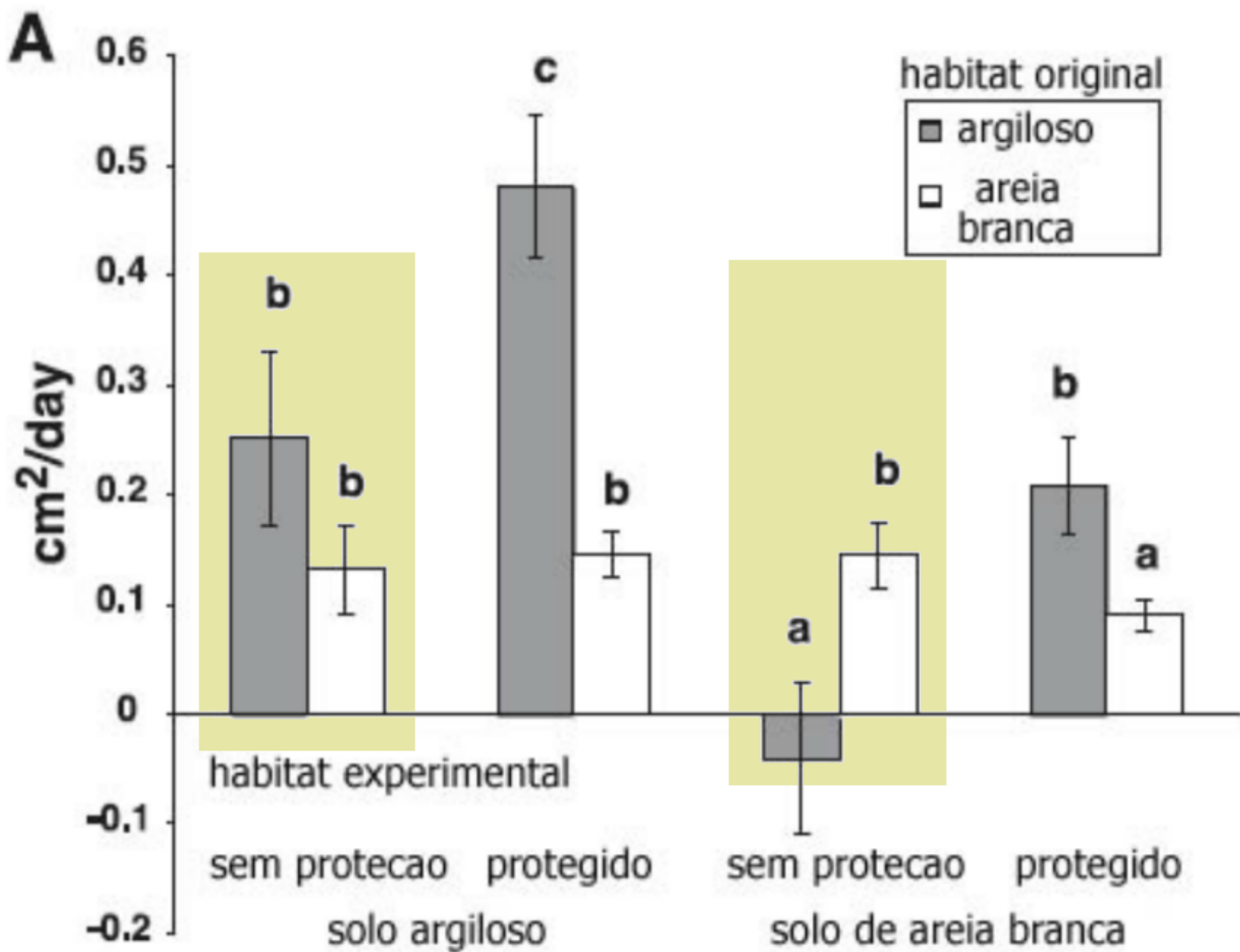


Year	Area (m ²)	Plot ID
1988	100	100-1
1988	100	100-2
1988	100	100-3
1988	100	100-4
1988	100	100-5
1988	100	100-6
1988	100	100-7
1988	100	100-8
1988	100	100-9
1988	100	100-10
1988	100	100-11
1988	100	100-12
1988	100	100-13
1988	100	100-14
1988	100	100-15
1988	100	100-16
1988	100	100-17
1988	100	100-18
1988	100	100-19
1988	100	100-20
1988	100	100-21
1988	100	100-22
1988	100	100-23
1988	100	100-24
1988	100	100-25
1988	100	100-26
1988	100	100-27
1988	100	100-28
1988	100	100-29
1988	100	100-30
1988	100	100-31
1988	100	100-32
1988	100	100-33
1988	100	100-34
1988	100	100-35
1988	100	100-36
1988	100	100-37
1988	100	100-38
1988	100	100-39
1988	100	100-40
1988	100	100-41
1988	100	100-42
1988	100	100-43
1988	100	100-44
1988	100	100-45
1988	100	100-46
1988	100	100-47
1988	100	100-48
1988	100	100-49
1988	100	100-50
1988	100	100-51
1988	100	100-52
1988	100	100-53
1988	100	100-54
1988	100	100-55
1988	100	100-56
1988	100	100-57
1988	100	100-58
1988	100	100-59
1988	100	100-60
1988	100	100-61
1988	100	100-62
1988	100	100-63
1988	100	100-64
1988	100	100-65
1988	100	100-66
1988	100	100-67
1988	100	100-68
1988	100	100-69
1988	100	100-70
1988	100	100-71
1988	100	100-72
1988	100	100-73
1988	100	100-74
1988	100	100-75
1988	100	100-76
1988	100	100-77
1988	100	100-78
1988	100	100-79
1988	100	100-80
1988	100	100-81
1988	100	100-82
1988	100	100-83
1988	100	100-84
1988	100	100-85
1988	100	100-86
1988	100	100-87
1988	100	100-88
1988	100	100-89
1988	100	100-90
1988	100	100-91
1988	100	100-92
1988	100	100-93
1988	100	100-94
1988	100	100-95
1988	100	100-96
1988	100	100-97
1988	100	100-98
1988	100	100-99
1988	100	100-100









FORTE

experimentos manipulativos

desenhos retritos

observacionais

FRACA

força de inferência



hipóteses
a priori
a posteriori

